

มหาวิทยาลัยเชียงใหม่
Chiang Mai University

ภาคผนวก

ภาคผนวก ก

การหา \bar{R}_b ในกรณีทีระนาบเอียงมี $\gamma \neq 0^\circ$ และ $\gamma \neq 180^\circ$

การหา \bar{R}_b ในกรณีที่ระนาบเอียงมี $\gamma \neq 0^\circ$ และ $\gamma \neq 180^\circ$

$$\begin{aligned} & (\cos \theta \sin \delta \sin \zeta)(\varphi_{SS} - \varphi_{Sr})(\pi/180) \\ & - (\sin \delta \cos \zeta \sin \theta \cos \gamma)(\varphi_{SS} - \varphi_{Sr})(\pi/180) \\ & + (\cos \zeta \cos \delta \cos \theta)(\sin \varphi_{SS} - \sin \varphi_{Sr}) \\ & + (\cos \delta \cos \gamma \sin \zeta \sin \theta)(\sin \varphi_{SS} - \sin \varphi_{Sr}) \\ & - (\cos \delta \sin \theta \sin \gamma)(\cos \varphi_{SS} - \cos \varphi_{Sr}) \\ \bar{R}_b = & \frac{\quad}{2(\cos \zeta \cos \delta \sin \varphi_S + (\pi/180)\varphi_S \sin \zeta \sin \delta)} \end{aligned} \quad (ก.1)$$

เมื่อ φ_{Sr} และ φ_{SS} คือ มุมชั่วโมงพระอาทิตย์ขึ้นและพระอาทิตย์ตกของระนาบเอียง ซึ่งสามารถหาจาก

$$\text{กรณี } \gamma > 0^\circ \quad \omega_{Sr} = -\min \left\{ \varphi_S, \cos^{-1} \left[\frac{(AB + \sqrt{A^2 - B^2 + 1})}{A^2 + 1} \right] \right\} \quad (ก.2)$$

$$\omega_{SS} = \min \left\{ \varphi_S, \cos^{-1} \left[\frac{(AB - \sqrt{A^2 - B^2 + 1})}{A^2 + 1} \right] \right\} \quad (ก.3)$$

$$\text{กรณี } \gamma < 0^\circ \quad \omega_{Sr} = -\min \left\{ \varphi_S, \cos^{-1} \left[\frac{(AB - \sqrt{A^2 - B^2 + 1})}{A^2 + 1} \right] \right\} \quad (ก.4)$$

$$\omega_{SS} = \min \left\{ \varphi_S, \cos^{-1} \left[\frac{(AB + \sqrt{A^2 - B^2 + 1})}{A^2 + 1} \right] \right\} \quad (ก.5)$$

$$\text{เมื่อ } A = \frac{\cos \zeta}{(\sin \gamma \tan \theta)} + \frac{\sin \zeta}{\tan \gamma}, \quad B = \tan \delta \left\{ \frac{\cos \zeta}{\tan \gamma} - \frac{\sin \zeta}{(\sin \gamma \tan \theta)} \right\}$$

มหาวิทยาลัยเชียงใหม่
Chiang Mai University

ภาคผนวก ข

สมการคำนวณคุณสมบัติอากาศ

สมการคำนวณคุณสมบัติอากาศ (ได้จากการ Interporation ตารางคุณสมบัติอากาศในช่วงอุณหภูมิ 275-325 K ของ Incropera, 1985)

$$\rho = -0.003997 \times T_{air} + 2.377225 \quad (\text{ข.1})$$

$$C_p = 0.03 \times T_{air} + 998.25 \quad (\text{ข.2})$$

$$\nu = (0.0948 \times T_{air} - 12.405) \times 10^{-6} \quad (\text{ข.3})$$

$$k = (0.077 \times T_{air} + 3.125) \times 10^{-3} \quad (\text{ข.4})$$

$$\text{Pr} = -0.0002 \times T_{air} + 0.7685 \quad (\text{ข.5})$$

เมื่อ T_{air} คือ อุณหภูมิอากาศ

มหาวิทยาลัยเชียงใหม่
Chiang Mai University

ภาคผนวก ค

โปรแกรมแบบจำลองสภาพทางคณิตศาสตร์

```

clear

%***** CAL. Tin Swine house *****

Tenter = input('Tenter ');
Tleave = input('Tleave ');
Ts     = input('Ts');
Tm     = (Tenter+Tleave)/2;
V_rate = input('volume flow rate Q, m^3/s ');
N      = input('number of duct ');
Acd    = input('cross section area of 1 duct ');
D      = input('diameter of duct ');
airdensity = -3.997e-003*Tenter+2.3605;
Cp     = 1000;
m_rate = V_rate*airdensity;
m_rate_d = m_rate/N;
Um     = m_rate_d/(airdensity.*Acd);
Apt    = input('total surface area ');
Ac     = input('total space cross sectional area ');
Tfi    = (Tenter+Tleave)/2;
k_Tfi  = (7.7e-002*Tfi+3.2e+000)*0.001;
kineviscos_Tfi = (9.48e-002*Tfi-1.255e+001)*0.000001;
airdensity = -3.997e-003*Tfi+2.3605;
airdensityI = -3.997e-003*Tenter+2.3605;
V        = Um;
Re       = Um*D./kineviscos_Tfi;
if Re<2500
    h_id   = 2.47*k_Tfi/D;
else disp('Re not in the Range ')
end

DeltaTm = (Tenter-Tleave)/(log((Tenter-Ts)/(Tleave-Ts)));
TleaveI = Tenter-(h_id.*Apt.*DeltaTm)/(airdensityI.*V.*Ac.*Cp);

```

```

if abs(Tleave1-Tleave) >= 0.001
    while abs(Tleave1-Tleave)/Tleave >= 0.1
        Tfi            = (Tenter+Tleave1)/2;
        k_Tfi          = (7.7e-002*Tfi+3.2e+000)*0.001;
        kineviscos_Tfi = (9.48e-002*Tfi-1.255e+001)*0.000001;
        airdensity     = -3.997e-003*Tfi+2.3605;
        Re             = Um*D./kineviscos_Tfi;
        if Re<2300
            h_id       = 2.47*k_Tfi./D;
            else disp('Re not in the Range ')
        end
        DeltaTm       = (Tenter-Tleave1)/(log((Tenter-Ts)/(Tleave1-Ts)));
        TT            = Tenter-(h_id.*Apt.*DeltaTm)/(airdensity.*V.*Ac.*Cp);
        ii           = Tleave1;
        Tleave       = ii;
        Tleave1      = TT;
    end
end
Tinlet              = Tleave1;
beta_r1             = input('angle of roof')*pi/180;
beta_r2             = -26.56*pi/180;
gamma_r1            = input('surface azimuth angel of roof 1 ')*pi/180;
gamma_r2            = input('surface azimuth angel of roof 2 ')*pi/180;
A_r1                = input('Area of roof1 ');
A_r2                = input('Area of roof2 ');
absorp_r            = input('absorptivity ');
Emissivity_r        = input('Emissivity of roof');
k_r                 = input('conduct of roof ');
L_r                 = input('Length of roof');
thick_r             = input('thick of roof ');
beta_w              = input('Tile of wall ')*pi/180;
gamma_w1            = input('surface azimuth angel of wall 1 ')*pi/180;

```



```

gamma_w2      = input('surface azimuth angel of wall 2 ')*pi/180;
A_w1          = input('Wall 1 Area ');
A_w2          = input('Wall 2 Area ');
absorp_w      = input('absorptivity of wall ');
Emissivity_w  = input('Emissivity of wall ');
k_w           = input('conduct of wall ');
L_w           = input('Length of wall ');
thick_w       = input('thick of wall ');
j             = input('start hour angle ');
k             = input('number of point to plot every 5 minute ');
time          = input('range of time to find temp. ');
n             = input('day of year ');
H             = input('Mounthly average daily solar radiation MJ/m^2.day ');
Gsc           = 1353;
low           = input('Refleatance of ground ');
W             = input('hour angel ')*pi/180;
fee           = (18+47/60)*pi/180;
delta         = (23.45*sin(360*(284+n)/365*pi/180))*pi/180;
Ws            = acos(-tan(fee)*tan(delta));
Ho            = 24*3600/pi*Gsc*((1+0.033*cos(360*n/365*pi/180))*(cos(fee)*cos(delta)*sin(Ws)+Ws*sin
(fee)*sin(delta)));
Kt            = H/Ho;
Hd            = Ho*(-4.6408+26.5495*Kt-28.3422*Kt^2-31.4546*Kt^3+46.4421*Kt^4);
aa            = 0.514+0.228*sin((Ws*180/pi-60)*pi/180);
bb            = 0.512+0.083*sin((Ws*180/pi-60)*pi/180);
rt            = pi/24*(aa+bb*cos(W))*(cos(W)-cos(Ws))/(sin(Ws)-Ws*cos(Ws));
I             = H*rt;
rd            = pi/24*(cos(W)-cos(Ws))/(sin(Ws)-Ws*cos(Ws));
Id            = Hd*rd;
Ib            = I-Id;
if gamma_r1>0
    gamma      = gamma_r1;

```

```

beta      = beta_r1;
A         = cos(fee)/(sin(gamma)*tan(beta))+sin(fee)/tan(gamma);
B         = tan(delta)*(cos(fee)/tan(gamma)-sin(fee)/(sin(gamma)*tan(beta)));
Wsr1      = Ws;
Wsr2      = acos((A*B+(A^2-B^2+1)^(1/2))/(A^2+1));

if Wsr1<Wsr2
    Wsr = -Wsr1;
elseif Wsr2<Wsr1
    Wsr = -Wsr2;
end
Wss1      = Ws;
Wss2      = acos((A*B-(A^2-B^2+1)^(1/2))/(A^2+1));
if Wss1<Wss2
    Wss = Wss1;
elseif Wss2<Wss1
    Wss = Wss2;
end
Rb_r1     = ((cos(beta)*sin(delta)*sin(fee)*(Wss-Wsr))-sin(delta)*cos(fee)*sin(beta)*cos(gamma)*(Wss-Wsr))+
(cos(fee)*cos(delta)*cos(beta)*(sin(Wss)-sin(Wsr)))+(cos(delta)*cos(gamma)*sin(fee)*sin(beta)*(sin(Wss)-sin
(Wsr)))-(cos(delta)*sin(beta)*sin(gamma)*(cos(Wss)-cos(Wsr)))/(2*(cos(fee)*cos(delta)*sin(Ws)+Ws*sin
(fee)*sin(delta)));

elseif gamma_r1<0
    gamma = gamma_r1;
    beta  = beta_r1;
    A     = cos(fee)/(sin(gamma)*tan(beta))+sin(fee)/tan(gamma);
    B     = tan(delta)*(cos(fee)/tan(gamma)-sin(fee)/(sin(gamma)*tan(beta)));
    Wsr1  = Ws;
    Wsr2  = acos((A*B-(A^2-B^2+1)^(1/2))/(A^2+1));
    if Wsr1<Wsr2
        Wsr = -Wsr1;

```

```

elseif Wsr2<Wsr1
    Wsr = -Wsr2;
end
Wss1 = Ws;
Wss2 = acos((A*B+(A^2-B^2+1)^(1/2))/(A^2+1));
if Wss1<Wss2
    Wss = Wss1;
elseif Wss2<Wss1
    Wss = Wss2;
end
Rb_r1 = ((cos(beta)*sin(delta)*sin(fee)*(Wss-Wsr))-sin(delta)*cos(fee)*sin(beta)*cos(gamma)*(Wss-Wsr))+
(cos(fee)*cos(delta)*cos(beta)*(sin(Wss)-sin(Wsr)))+(cos(delta)*cos(gamma)*sin(fee)*sin(beta)*(sin(Wss)-sin
(Wsr)))-(cos(delta)*sin(beta)*sin(gamma)*(cos(Wss)-cos(Wsr)))/(2*(cos(fee)*cos(delta)*sin(Ws)+Ws*sin
(fee)*sin(delta)));
elseif gamma_r1==0
    gamma = gamma_r1;
    beta = beta_r1;
    Wsp1 = acos(-tan(fee)*tan(delta));
    Wsp2 = acos(-tan(fee-beta)*tan(delta));
    if Wsp1<Wsp2
        Wsp = Wsp1;
    elseif Wsp2<Wsp1
        Wsp = Wsp2;
    end
    Rb_r1 = (cos(fee-beta)*cos(delta)*sin(Wsp)+Wsp*sin(fee-beta)*sin(delta))/(cos(fee)*cos(delta)*sin
(Ws)+Ws*sin(fee)*sin(delta));
end
Ht_r1 = H*(1-Hd/H)*Rb_r1+Hd*(1+cos(beta_r1))/2+low*H*(1-cos(beta_r1))/2;
It_r1 = rt*Ht_r1;
Qabsorp_r1 = absorp_r*It_r1/3600;
if gamma_r2>0
    gamma= gamma_r2;

```

```

beta = beta_r2;
A = cos(fee)/(sin(gamma)*tan(beta))+sin(fee)/tan(gamma);
B = tan(delta)*(cos(fee)/tan(gamma)-sin(fee)/(sin(gamma)*tan(beta)));
Wsr1 = Ws;
Wsr2 = acos((A*B+(A^2-B^2+1)^(1/2))/(A^2+1));
if Wsr1<Wsr2
    Wsr = -Wsr1;
elseif Wsr2<Wsr1
    Wsr = -Wsr2;
end
Wss1 = Ws;
Wss2 = acos((A*B-(A^2-B^2+1)^(1/2))/(A^2+1));
if Wss1<Wss2
    Wss = Wss1;
elseif Wss2<Wss1
    Wss = Wss2;
end
Rb_r2 = ((cos(beta)*sin(delta)*sin(fee)*(Wss-Wsr))-sin(delta)*cos(fee)*sin(beta)*cos(gamma)*(Wss-Wsr))+
(cos(fee)*cos(delta)*cos(beta)*(sin(Wss)-sin(Wsr)))+(cos(delta)*cos(gamma)*sin(fee)*sin(beta)*(sin(Wss)-sin
(Wsr)))-(cos(delta)*sin(beta)*sin(gamma)*(cos(Wss)-cos(Wsr)))/(2*(cos(fee)*cos(delta)*sin(Ws)+Ws*sin
(fee)*sin(delta)));
elseif gamma_r2<0
    gamma = gamma_r2;
    beta = beta_r2;
    A = cos(fee)/(sin(gamma)*tan(beta))+sin(fee)/tan(gamma);
    B = tan(delta)*(cos(fee)/tan(gamma)-sin(fee)/(sin(gamma)*tan(beta)));
    Wsr1 = Ws;
    Wsr2 = acos((A*B-(A^2-B^2+1)^(1/2))/(A^2+1));
    if Wsr1<Wsr2
        Wsr = -Wsr1;
    elseif Wsr2<Wsr1
        Wsr = -Wsr2;
    end

```

```

end
Wss1 = Ws;
Wss2 = acos((A*B+(A^2-B^2+1)^(1/2))/(A^2+1));
if Wss1<Wss2
    Wss = Wss1;
elseif Wss2<Wss1
    Wss = Wss2;
end
Rb_r2 = ((cos(beta)*sin(delta)*sin(fee)*(Wss-Wsr))-sin(delta)*cos(fee)*sin(beta)*cos(gamma)*(Wss-Wsr))+
(cos(fee)*cos(delta)*cos(beta)*(sin(Wss)-sin(Wsr)))+(cos(delta)*cos(gamma)*sin(fee)*sin(beta)*(sin(Wss)-sin
(Wsr)))-(cos(delta)*sin(beta)*sin(gamma)*(cos(Wss)-cos(Wsr)))/(2*(cos(fee)*cos(delta)*sin(Ws)+Ws*sin
(fee)*sin(delta)));
elseif gamma_r2==0
    gamma = gamma_r2;
    beta = beta_r2;
    Wsp1 = acos(-tan(fee)*tan(delta));
    Wsp2 = acos(-tan(fee-beta)*tan(delta));
    if Wsp1<Wsp2
        Wsp = Wsp1;
    elseif Wsp2<Wsp1
        Wsp = Wsp2;
    end
    Rb_r2 = (cos(fee-beta)*cos(delta)*sin(Wsp)+Wsp*sin(fee-beta)*sin(delta))/(cos(fee)*cos(delta)*sin
(Ws)+Ws*sin(fee)*sin(delta));
end
Ht_r2 = H*(1-Hd/H)*Rb_r2+Hd*(1+cos(beta_r2))/2+low*H*(1-cos(beta_r2))/2;
It_r2 = rt*Ht_r2;
Qabsorp_r2 = absorp_r*It_r2/3600;
if gamma_w1>0
    gamma= gamma_w1;
    beta = beta_w;
    A = cos(fee)/(sin(gamma)*tan(beta))+sin(fee)/tan(gamma);

```

```

B    = tan(delta)*(cos(fee)/tan(gamma)-sin(fee)/(sin(gamma)*tan(beta)));
Wsr1 = Ws;
Wsr2 = acos((A*B+(A^2-B^2+1)^(1/2))/(A^2+1));
if Wsr1<Wsr2
    Wsr = -Wsr1;
elseif Wsr2<Wsr1
    Wsr = -Wsr2;
end
Wss1 = Ws;
Wss2 = acos((A*B-(A^2-B^2+1)^(1/2))/(A^2+1));
if Wss1<Wss2
    Wss = Wss1;
elseif Wss2<Wss1
    Wss = Wss2;
end
Rb_w1 = ((cos(beta)*sin(delta)*sin(fee)*(Wss-Wsr))-sin(delta)*cos(fee)*sin(beta)*cos(gamma)*(Wss-Wsr))+
(cos(fee)*cos(delta)*cos(beta)*(sin(Wss)-sin(Wsr)))+(cos(delta)*cos(gamma)*sin(fee)*sin(beta)*(sin(Wss)-sin
(Wsr)))-(cos(delta)*sin(beta)*sin(gamma)*(cos(Wss)-cos(Wsr)))/(2*(cos(fee)*cos(delta)*sin(Ws)+Ws*sin
(fee)*sin(delta)));

elseif gamma_w1<0
gamma= gamma_w1;
beta  = beta_w;
A    = cos(fee)/(sin(gamma)*tan(beta))+sin(fee)/tan(gamma);
B    = tan(delta)*(cos(fee)/tan(gamma)-sin(fee)/(sin(gamma)*tan(beta)));
Wsr1 = Ws;
Wsr2 = acos((A*B-(A^2-B^2+1)^(1/2))/(A^2+1));
if Wsr1<Wsr2
    Wsr = -Wsr1;
elseif Wsr2<Wsr1
    Wsr = -Wsr2;
end

```

```

Wss1 = Ws;
Wss2 = acos((A*B+(A^2-B^2+1)^(1/2))/(A^2+1));
if Wss1<Wss2
    Wss = Wss1;
elseif Wss2<Wss1
    Wss = Wss2;
end
Rb_w1 = ((cos(beta)*sin(delta)*sin(fee)*(Wss-Wsr))-sin(delta)*cos(fee)*sin(beta)*cos(gamma)*(Wss-Wsr))+
(cos(fee)*cos(delta)*cos(beta)*(sin(Wss)-sin(Wsr)))+(cos(delta)*cos(gamma)*sin(fee)*sin(beta)*(sin(Wss)-sin
(Wsr)))-(cos(delta)*sin(beta)*sin(gamma)*(cos(Wss)-cos(Wsr)))/(2*(cos(fee)*cos(delta)*sin(Ws)+Ws*sin
(fee)*sin(delta)));
elseif gamma_w1==0
    gamma = gamma_w1;
    beta = beta_w;
    Wsp1 = acos(-tan(fee)*tan(delta));
    Wsp2 = acos(-tan(fee-beta)*tan(delta));
    if Wsp1<Wsp2
        Wsp = Wsp1;
    elseif Wsp2<Wsp1
        Wsp = Wsp2;
    end
    Rb_w1 = (cos(fee-beta)*cos(delta)*sin(Wsp)+Wsp*sin(fee-beta)*sin(delta))/(cos(fee)*cos(delta)*sin
(Ws)+Ws*sin(fee)*sin(delta));
end
Ht_w1 = H*(1-Hd/H)*Rb_w1+Hd*(1+cos(beta_w))/2+low*H*(1-cos(beta_w))/2;
It_w1 = rt*Ht_w1;
Qabsorp_w1 = absorp_w*It_w1/3600;
if gamma_w2>0
    gamma = gamma_w2;
    beta = beta_w;
    A = cos(fee)/(sin(gamma)*tan(beta))+sin(fee)/tan(gamma);
    B = tan(delta)*(cos(fee)/tan(gamma)-sin(fee)/(sin(gamma)*tan(beta)));

```

```

Wsr1 = Ws;
Wsr2 = acos((A*B+(A^2-B^2+1)^(1/2))/(A^2+1));
if Wsr1<Wsr2
    Wsr = -Wsr1;
elseif Wsr2<Wsr1
    Wsr = -Wsr2;
end
Wss1 = Ws;
Wss2 = acos((A*B-(A^2-B^2+1)^(1/2))/(A^2+1));
if Wss1<Wss2
    Wss = Wss1;
elseif Wss2<Wss1
    Wss = Wss2;
end
Rb_w2 = ((cos(beta)*sin(delta)*sin(fee)*(Wss-Wsr))-(sin(delta)*cos(fee)*sin(beta)*cos(gamma)*(Wss-Wsr))+
(cos(fee)*cos(delta)*cos(beta)*(sin(Wss)-sin(Wsr)))+(cos(delta)*cos(gamma)*sin(fee)*sin(beta)*(sin(Wss)-sin
(Wsr)))-(cos(delta)*sin(beta)*sin(gamma)*(cos(Wss)-cos(Wsr)))/(2*(cos(fee)*cos(delta)*sin(Ws)+Ws*sin
(fee)*sin(delta)));
elseif gamma_w2<0
    gamma = gamma_w2;
    beta = beta_w;
    A = cos(fee)/(sin(gamma)*tan(beta))+sin(fee)/tan(gamma);
    B = tan(delta)*(cos(fee)/tan(gamma)-sin(fee)/(sin(gamma)*tan(beta)));
    Wsr1 = Ws;
    Wsr2 = acos((A*B-(A^2-B^2+1)^(1/2))/(A^2+1));
if Wsr1<Wsr2
    Wsr = -Wsr1;
elseif Wsr2<Wsr1
    Wsr = -Wsr2;
end
Wss1 = Ws;
Wss2 = acos((A*B+(A^2-B^2+1)^(1/2))/(A^2+1));

```



```

if Wss1<Wss2
    Wss = Wss1;
elseif Wss2<Wss1
    Wss = Wss2;
end
Rb_w2 = ((cos(beta)*sin(delta)*sin(fee)*(Wss-Wsr))-sin(delta)*cos(fee)*sin(beta)*cos(gamma)*(Wss-Wsr))+
(cos(fee)*cos(delta)*cos(beta)*(sin(Wss)-sin(Wsr)))+(cos(delta)*cos(gamma)*sin(fee)*sin(beta)*(sin(Wss)-sin
(Wsr)))-(cos(delta)*sin(beta)*sin(gamma)*(cos(Wss)-cos(Wsr)))/(2*(cos(fee)*cos(delta)*sin(Ws)+Ws*sin
(fee)*sin(delta)));
elseif gamma_w2==0
    gamma = gamma_w2;
    beta = beta_w;
    Wsp1 = acos(-tan(fee)*tan(delta));
    Wsp2 = acos(-tan(fee-beta)*tan(delta));
    if Wsp1<Wsp2
        Wsp = Wsp1;
    elseif Wsp2<Wsp1
        Wsp = Wsp2;
    end
    Rb_w2 = (cos(fee-beta)*cos(delta)*sin(Wsp)+Wsp*sin(fee-beta)*sin(delta))/(cos(fee)*cos(delta)*sin
(Ws)+Ws*sin(fee)*sin(delta));
end
Ht_w2 = H*(1-Hd/H)*Rb_w2+Hd*(1+cos(beta_w))/2+low*H*(1-cos(beta_w))/2;
It_w2 = rt*Ht_w2;
Qabsorp_w2 = absorp_w*It_w2/3600;
Time=[1:1:k];
for i=1:k-1;
    i=i+1;
    Ws(i) = acos(-tan(fee)*tan(delta));
    aa(i) = 0.514+0.228.*sin((Ws(i).*180/pi-60).*pi/180);
    bb(i) = 0.512+0.083.*sin((Ws(i).*180/pi-60).*pi/180);

```

```

if j==1j==2j==3j==4j==5j==6j==7j==8j==9j==10j==11j==12
W(i) = -90*pi/180;
elseif j==13j==14j==15j==16j==17j==18j==19j==20j==21j==22j==23j==24
W(i) = -75*pi/180;
elseif j==25j==26j==27j==28j==29j==30j==31j==32j==33j==34j==35j==36
W(i) = -60*pi/180;
elseif j==37j==38j==39j==40j==41j==42j==43j==44j==45j==46j==47j==48
W(i) = -45*pi/180;
elseif j==49j==50j==51j==52j==53j==54j==55j==56j==57j==58j==59j==60
W(i) = -30*pi/180;
elseif j==61j==62j==63j==64j==65j==66j==67j==68j==69j==70j==71j==72
W(i) = -15*pi/180;
elseif j==73j==74j==75j==76j==77j==78j==79j==80j==81j==82j==83j==84
W(i) = 0*pi/180;
elseif j==85j==86j==87j==88j==89j==90j==91j==92j==93j==94j==95j==96
W(i) = 15*pi/180;
elseif j==97j==98j==99j==100j==101j==102j==103j==104j==105j==106j==107j==108
W(i) = 30*pi/180;
elseif j==109j==110j==111j==112j==113j==114j==115j==116j==117j==118j==119j==120
W(i) = 45*pi/180;
elseif j==121j==122j==123j==124j==125j==126j==127j==128j==129j==130j==131j==132
W(i) = 60*pi/180;
elseif j==133j==134j==135j==136j==137j==138j==139j==140j==141j==142j==143j==144
W(i) = 75*pi/180;
elseif j==145j==146j==147j==148j==149j==150j==151j==152j==153j==154j==155j==156
W(i) = 90*pi/180;
end

rt(i)      = pi/24*(aa(i)+bb(i).*cos(W(i))).*(cos(W(i))-cos(Ws(i)))./(sin(Ws(i))-Ws(i).*cos(Ws(i)));
lt_r1(i)   = rt(i)*Ht_r1;
Qabsorp_r1(i) = absorp_r.*lt_r1(i)./3600;
lt_r2(i)   = rt(i)*Ht_r2;
Qabsorp_r2(i) = absorp_r.*lt_r2(i)./3600;

```

```

It_w1(i)      = rt(i)*Ht_w1;
Qabsorp_w1(i) = absorp_w.*It_w1(i)./3600;
It_w2(i)      = rt(i)*Ht_w2;
Qabsorp_w2(i) = absorp_w.*It_w2(i)./3600;
end
pQr1          = polyfit(Time,Qabsorp_r1,7);
pQr2          = polyfit(Time,Qabsorp_r2,7);
pQw1          = polyfit(Time,Qabsorp_w1,7);
pQw2          = polyfit(Time,Qabsorp_w2,7);

Tam           = Tenter(1);
Tsky          = 0.0552*Tam^(1.5);
Tin           = input('Tin ')+273.15;
Tinfirst      = Tin;
Tin1          = Tin;
Tro1          = Tam(1)+4;
Tro2          = Tro1+1;
Tri           = Tro1+2;
aaa           = Tro1;
bbb           = Tro2;
ccc           = Tri;
Two1          = Tam(1)+3;
Two2          = Two1+10;
Twi           = Two1+2;

Tinlet        = input('Temp. air leave wet pad ')+273.15;
Qabdel_r1     = input('Qabdel_r1 ');
Qabdel_r2     = input('Qabdel_r2 ');
Qabdel_w1     = input('Qabdel_w1 ');
Qabdel_w2     = input('Qabdel_w2 ');
DeltaQ_r11    = 10;
DeltaQ_r12    = 10;

```

```

DeltaQ_r21 = 10;
DeltaQ_r22 = 10;
DeltaQ_w11 = 10;
DeltaQ_w12 = 10;
DeltaQ_w21 = 10;
DeltaQ_w22 = 10;

Ac_in = input('Cross section area in swine house');
Va_in = input('Vair in room ');
Vfp = input('Vair over flat plate ');
airdensity_in = -3.997e-3*Tinlet+2.3605;
j = input('start hour angle ');
k = input('number of point to plot every 5 minute ');
Cp = 3e-002*Tinlet+9.98e+002;
time = input('range of time to find temp.')
Qswine = input('Amout of swine ')*0.132;
while DeltaQ_r11 > 0.1 | DeltaQ_r11 < -0.1
Tfo = (Tam+Tro1)/2;
kineviscos_Tfo = (9.48e-002*Tfo-1.255e+001)*0.000001;
k_Tfo = (7.7e-002*Tfo+3.2e+000)*0.001;
Pr_Tfo = -2.0e-004*Tfo+7.67e-001;
B_Tfo = 1/Tfo;
Gr_r = abs(9.81*sin(beta_r1)*B_Tfo*(Tro1-Tam)*(L_r^3))/(kineviscos_Tfo^2);
Ra_v = Gr_r*Pr_Tfo;
Nu_vo = (0.825+((0.387*Ra_v^(1/6))/(1+(0.492/Pr_Tfo)^(9/16)))^(8/27))^2;
hc_ro = Nu_vo*k_Tfo/L_r;
hr = 5.67e-8*Emissivity_r*(Tsky+Tro1)*(Tsky^2+Tro1^2);
Q_r11 = hr*(Tsky-Tro1)+hc_ro*(Tam-Tro1)+abs(Qabdel_r1);
Tri = Tro1-Q_r11*(thick_r/k_r);
Tfi = (Tri+Tin)/2;
kineviscos_Tfi = (9.48e-002*Tfi-1.255e+001)*0.000001;
k_Tfi = (7.7e-002*Tfi+3.2e+000)*0.001;

```

```

Pr_Tfi    = -2.0e-004*Tfi+7.67e-001;
B_Tfi     = 1/Tfi;
Re_r      = Vfp*L_r/kineviscos_Tfi;
if Re_r<5e+5
    Nu_ri   = 0.664*Pr_Tfi^(1/3)*Re_r^(1/2);
elseif Re_r>5e+5 & Re_r<5.5e+6
    Nu_ri   = 0.036*Pr_Tfi^(0.43)*(Re_r^(0.8)-9200);
else
    disp('Renolds number not in the range ');
end
hc_ri     = Nu_ri*k_Tfi/L_r;
Q_r12     = (Tri-Tin)/(1/hc_ri);
DeltaQ_r11 = Q_r11-Q_r12;
if DeltaQ_r11<-0.1 | DeltaQ_r11>0.1
    Tfo     = (Tam+Tro2)/2;
    kineviscos_Tfo = (9.48e-002*Tfo-1.255e+001)*0.000001;
    k_Tfo    = (7.7e-002*Tfo+3.2e+000)*0.001;
    Pr_Tfo   = -2.0e-004*Tfo+7.67e-001;
    B_Tfo    = 1/Tfo;
    Gr_r     = abs(9.81*sin(beta_r1)*B_Tfo*(Tro2-Tam)*(L_r^3))/(kineviscos_Tfo^2);
    Ra_v     = Gr_r*Pr_Tfo;
    Nu_vo    = (0.825+((0.387*Ra_v^(1/6))/(1+(0.492/Pr_Tfo)^(9/16)))^(8/27))^2;
    hc_ro    = Nu_vo*k_Tfo/L_r;
    hr       = 5.67e-8*Emissivity_r*(Tsky+Tro2)*(Tsky^2+Tro2^2);
    Q_r13    = hr*(Tsky-Tro2)+hc_ro*(Tam-Tro2)+abs(Qabdel_r1);
    Tri      = Tro2-Q_r13*(thick_r/k_r);
    Tfi      = (Tri+Tin)/2;
    kineviscos_Tfi = (9.48e-002*Tfi-1.255e+001)*0.000001;
    k_Tfi    = (7.7e-002*Tfi+3.2e+000)*0.001;
    Pr_Tfi   = -2.0e-004*Tfi+7.67e-001;
    B_Tfi    = 1/Tfi;
    Re_r     = Vfp*L_r/kineviscos_Tfi;

```

```

if Re_r<5e+5
    Nu_ri = 0.664*Pr_Tfi^(1/3)*Re_r^(1/2);
elseif Re_r>5e+5 & Re_r<5.5e+6
    Nu_ri = 0.036*Pr_Tfi^(0.43)*(Re_r^(0.8)-9200);
else
    disp('Renolds number not in the range ');
end
end
hc_ri = Nu_ri*k_Tfi/L_r;
Q_r14 = (Tri-Tin)/(1/hc_ri);
DeltaQ_r12 = Q_r13-Q_r14;
x = [DeltaQ_r11,DeltaQ_r12];
y = [Tro1,Tro2];
p = polyfit(x,y,1);
z = polyval(p,0);
Tro2 = Tro1;
Tro1 = z;
end
end
dd = Tro1;
ee = Tro2;
ff = Tri;
Tro1 = aaa;
Tro2 = bbb;
Tri = ccc;
while DeltaQ_r21>0.1 | DeltaQ_r21<-0.1
Tfo = (Tam+Tro1)/2;
kineviscos_Tfo = (9.48e-002*Tfo-1.255e+001)*0.000001;
k_Tfo = (7.7e-002*Tfo+3.2e+000)*0.001;
Pr_Tfo = -2.0e-004*Tfo+7.67e-001;
B_Tfo = 1/Tfo;
Gr_r = abs(9.81*sin(beta_r2)*B_Tfo*(Tro1-Tam)*(L_r^3))/(kineviscos_Tfo^2);
Ra_v = Gr_r*Pr_Tfo;

```

```

Nu_vo = (0.825+((0.387*Ra_v^(1/6))/(1+(0.492/Pr_Tfo)^(9/16))^(8/27)))^2;
hc_ro = Nu_vo*k_Tfo/L_r;
hr = 5.67e-8*Emissivity_r*(Tsky+Tro1)*(Tsky^2+Tro1^2);
Q_r21 = hr*(Tsky-Tro1)+hc_ro*(Tam-Tro1)+abs(Qabdel_r2);
Tri = Tro1-Q_r21*(thick_r/k_r);
Tfi = (Tri+Tin)/2;
kineviscos_Tfi = (9.48e-002*Tfi-1.255e+001)*0.000001;
k_Tfi = (7.7e-002*Tfi+3.2e+000)*0.001;
Pr_Tfi = -2.0e-004*Tfi+7.67e-001;
B_Tfi = 1/Tfi;
Re_r = Vfp*L_r/kineviscos_Tfi;
if Re_r<5e+5
    Nu_ri = 0.664*Pr_Tfi^(1/3)*Re_r^(1/2);
elseif Re_r>5e+5 & Re_r<5.5e+6
    Nu_ri = 0.036*Pr_Tfi^(0.43)*(Re_r^(0.8)-9200);
else
    disp('Renolds number not in the range');
end
hc_ri = Nu_ri*k_Tfi/L_r;
Q_r22 = (Tri-Tin)/(1/hc_ri);
DeltaQ_r21 = Q_r21-Q_r22;
if DeltaQ_r21<0.1 | DeltaQ_r21>0.1
    Tfo = (Tam+Tro2)/2;
    kineviscos_Tfo = (9.48e-002*Tfo-1.255e+001)*0.000001;
    k_Tfo = (7.7e-002*Tfo+3.2e+000)*0.001;
    Pr_Tfo = -2.0e-004*Tfo+7.67e-001;
    B_Tfo = 1/Tfo;
    Gr_r = abs(9.81*sin(beta_r2)*B_Tfo*(Tro2-Tam)*(L_r^3))/(kineviscos_Tfo^2);
    Ra_v = Gr_r*Pr_Tfo;
    Nu_vo = (0.825+((0.387*Ra_v^(1/6))/(1+(0.492/Pr_Tfo)^(9/16))^(8/27)))^2;
    hc_ro = Nu_vo*k_Tfo/L_r;
    hr = 5.67e-8*Emissivity_r*(Tsky+Tro2)*(Tsky^2+Tro2^2);

```

```

Q_r23      = hr*(Tsky-Tro2)+hc_ro *(Tam-Tro2)+abs(Qabdel_r2);
Tri        = Tro2-Q_r23*(thick_r/k_r);
Tfi        = (Tri+Tin)/2;
kineviscos_Tfi = (9.48e-002*Tfi-1.255e+001)*0.000001;
k_Tfi      = (7.7e-002*Tfi+3.2e+000)*0.001;
Pr_Tfi     = -2.0e-004*Tfi+7.67e-001;
B_Tfi      = 1/Tfi;
Re_r       = Vfp*L_r/kineviscos_Tfi;
    if Re_r<5e+5
        Nu_ri = 0.664*Pr_Tfi^(1/3)*Re_r^(1/2);
    elseif Re_r>5e+5 & Re_r<5.5e+6
        Nu_ri = 0.036*Pr_Tfi^(0.43)*(Re_r^(0.8)-9200);
    else
        disp('Renolds number not in the range');
    end
hc_ri      = Nu_ri*k_Tfi/L_r;
Q_r24      = (Tri-Tin)/(1/hc_ri);
DeltaQ_r22= Q_r23-Q_r24;
x          = [DeltaQ_r21,DeltaQ_r22];
y          = [Tro1,Tro2];
p          = polyfit(x,y,1);
z          = polyval(p,0);
Tro2       = Tro1;
Tro1       = z;
end
end
gg = Tro1;
hh = Tro2;
ii = Tri;
while DeltaQ_w11>0.1 | DeltaQ_w11<-0.1
Tfo        = (Tam+Twol)/2;
kineviscos_Tfo = (9.48e-002*Tfo-1.255e+001)*0.000001;

```



```

k_Tfo      = (7.7e-002*Tfo+3.2e+000)*0.001;
Pr_Tfo     = -2.0e-004*Tfo+7.67e-001;
B_Tfo      = 1/Tfo;
Gr_w       = abs(9.81*B_Tfo*(Two1-Tam)*(L_w^3))/(kineviscos_Tfo^2);
Ra_v       = Gr_w*Pr_Tfo;
Nu_vo      = (0.825+((0.387*Ra_v^(1/6)))/(1+(0.492/Pr_Tfo)^(9/16))^(8/27))^2;
hc_wo      = Nu_vo*k_Tfo/L_w;
hr         = 5.67e-8*Emissivity_w*(Tsky+Two1)*(Tsky^2+Two1^2);
Q_w11      = hr*(Tsky-Two1)+hc_wo*(Tam-Two1)+Qabdel_w1(1);
Twi        = Two1-Q_w11*(thick_w/k_w);
Tfi        = (Twi+Tin)/2;
kineviscos_Tfi = (9.48e-002*Tfi-1.255e+001)*0.000001;
k_Tfi      = (7.7e-002*Tfi+3.2e+000)*0.001;
Pr_Tfi     = -2.0e-004*Tfi+7.67e-001;
B_Tfi      = 1/Tfi;
Re_w       = Vfp*L_w/kineviscos_Tfi;
if Re_w<5e+5
    Nu_wi    = 0.664*Pr_Tfi^(1/3)*Re_w^(1/2);
elseif Re_w>5e+5 & Re_w<5.5e+6
    Nu_wi    = 0.036*Pr_Tfi^(0.43)*(Re_w^(0.8)-9200);
else
    disp('Renolds number not in the range ');
end
hc_wi      = Nu_wi*k_Tfi/L_w;
Q_w12      = (Twi-Tin)/(1/hc_wi);
DeltaQ_w11 = Q_w11-Q_w12;
if DeltaQ_w11<-0.1 | DeltaQ_w11>0.1
    Tfo     = (Tam+Two2)/2;
    kineviscos_Tfo = (9.48e-002*Tfo-1.255e+001)*0.000001;
    k_Tfo    = (7.7e-002*Tfo+3.2e+000)*0.001;
    Pr_Tfo   = -2.0e-004*Tfo+7.67e-001;
    B_Tfo    = 1/Tfo;

```

```

Gr_w = abs(9.81*B_Tfo*(Two2-Tam)*(L_w^3))/(kineviscos_Tfo^2);
Ra_v = Gr_w*Pr_Tfo;
Nu_vo = (0.825+((0.387*Ra_v^(1/6))/(1+(0.492/Pr_Tfo)^(9/16)))^(8/27))^2;
hc_wo = Nu_vo*k_Tfo/L_w;
hr = 5.67e-8*Emissivity_w*(Tsky+Two2)*(Tsky^2+Two2^2);
Q_w13 = hr*(Tsky-Two2)+hc_wo*(Tam-Two2)+Qabdel_w1(1);
Twi = Two2-Q_w13*(thick_w/k_w);
Tfi = (Twi+Tin)/2;
kineviscos_Tfi = (9.48e-002*Tfi-1.255e+001)*0.000001;
k_Tfi = (7.7e-002*Tfi+3.2e+000)*0.001;
Pr_Tfi = -2.0e-004*Tfi+7.67e-001;
B_Tfi = 1/Tfi;
Re_w = Vfp*L_w/kineviscos_Tfi;
    if Re_w<5e+5
        Nu_wi = 0.664*Pr_Tfi^(1/3)*Re_w^(1/2);
    elseif Re_w>5e+5 & Re_w<5.5e+6
        Nu_wi = 0.036*Pr_Tfi^(0.43)*(Re_w^(0.8)-9200);
    else
        disp('Renolds number not in the range ');
    end
hc_wi = Nu_wi*k_Tfi/L_w;
Q_w14 = (Twi-Tin)/(1/hc_wi);
DeltaQ_w12 = Q_w13-Q_w14;
x = [DeltaQ_w11,DeltaQ_w12];
y = [Two1,Two2];
p = polyfit(x,y,1);
z = polyval(p,0);
Two2 = Two1;
Two1 = z;
end
end
mm = Two1;

```

```

nn = Two2;
oo = Twi;
while DeltaQ_w21>0.1 | DeltaQ_w21<-0.1
Tfo      = (Tam+Two1)/2;
kineviscos_Tfo = (9.48e-002*Tfo-1.255e+001)*0.000001;
k_Tfo     = (7.7e-002*Tfo+3.2e+000)*0.001;
Pr_Tfo    = -2.0e-004*Tfo+7.67e-001;
B_Tfo     = 1/Tfo;
Gr_w      = abs(9.81*B_Tfo*(Two1-Tam)*(L_w^3))/(kineviscos_Tfo^2);
Ra_v      = Gr_w*Pr_Tfo;
Nu_vo     = (0.825+((0.387*Ra_v^(1/6))/(1+(0.492/Pr_Tfo)^(9/16))^(8/27)))^2;
hc_wo     = Nu_vo*k_Tfo/L_w;
hr        = 5.67e-8*Emissivity_w*(Tsky+Two1)*(Tsky^2+Two1^2);
Q_w21     = hr*(Tsky-Two1)+hc_wo*(Tam-Two1)+Qabdel_w2(1);
Twi       = Two1-Q_w21*(thick_w/k_w);
Tfi       = (Twi+Tin)/2;
kineviscos_Tfi = (9.48e-002*Tfi-1.255e+001)*0.000001;
k_Tfi     = (7.7e-002*Tfi+3.2e+000)*0.001;
Pr_Tfi    = -2.0e-004*Tfi+7.67e-001;
B_Tfi     = 1/Tfi;
Re_w      = Vfp*L_w/kineviscos_Tfi;
if Re_w<5e+5
    Nu_wi   = 0.664*Pr_Tfi^(1/3)*Re_w^(1/2);
elseif Re_w>5e+5 & Re_w<5.5e+6
    Nu_wi   = 0.036*Pr_Tfi^(0.43)*(Re_w^(0.8)-9200);
else
    disp('Renolds number not in the range ');
end
hc_wi     = Nu_wi*k_Tfi/L_w;
Q_w22     = (Twi-Tin)/(1/hc_wi);
DeltaQ_w21 = Q_w21-Q_w22;
    if DeltaQ_w21<-0.1 | DeltaQ_w21>0.1

```

```

Tfo      = (Tam+Two2)/2;
kineviscos_Tfo = (9.48e-002*Tfo-1.255e+001)*0.000001;
k_Tfo    = (7.7e-002*Tfo+3.2e+000)*0.001;
Pr_Tfo   = -2.0e-004*Tfo+7.67e-001;
B_Tfo    = 1/Tfo;
Gr_w     = abs(9.81*B_Tfo*(Two2-Tam)*(L_w^3))/(kineviscos_Tfo^2);
Ra_v     = Gr_w*Pr_Tfo;
Nu_vo    = (0.825+((0.387*Ra_v^(1/6))/(1+(0.492/Pr_Tfo)^(9/16)))^(8/27))^2;
hc_wo    = Nu_vo*k_Tfo/L_w;
hr       = 5.67e-8*Emissivity_w*(Tsky+Two2)*(Tsky^2+Two2^2);
Q_w23    = hr*(Tsky-Two2)+hc_wo*(Tam-Two2)+Qabdel_w2(1);
Twi      = Two2-Q_w23*(thick_w/k_w);
Tfi      = (Twi+Tin)/2;
kineviscos_Tfi = (9.48e-002*Tfi-1.255e+001)*0.000001;
k_Tfi    = (7.7e-002*Tfi+3.2e+000)*0.001;
Pr_Tfi   = -2.0e-004*Tfi+7.67e-001;
B_Tfi    = 1/Tfi;
Re_w     = Vfp*L_w/kineviscos_Tfi;
    if Re_w<5e+5
        Nu_wi = 0.664*Pr_Tfi^(1/3)*Re_w^(1/2);
    elseif Re_w>5e+5 & Re_w<5.5e+6
        Nu_wi = 0.036*Pr_Tfi^(0.43)*(Re_w^(0.8)-9200);
    else
        disp('Renolds number not in the range ');
    end
hc_wi    = Nu_wi*k_Tfi/L_w;
Q_w24    = (Twi-Tin)/(1/hc_wi);
DeltaQ_w22 = Q_w23-Q_w24;
x        = [DeltaQ_w21,DeltaQ_w22];
y        = [Two1,Two2];
p        = polyfit(x,y,1);
z        = polyval(p,0);

```

```

Two2      = Two1;
Two1      = z;
end
end
pp=Two1;
qq=Two2;
rr =Twi;
Qvent     = m_rate*Cp*(Tinlet-Tin);
Qtotal    = Q_r11*A_r1+Q_w11*A_w1+Q_w21*A_w2+Q_r21*A_r2+Qvent+Qswine;
Tin       = Qtotal/(m_rate*Cp)+Tin;

Tro1(1) = Tro1;
Tro2(1) = Tro1+10;
Tri(1)  = Tri;
Two1(1) = Two1;
Two2(1) = Two1+5;
Twi(1)  = Twi;
Tin(1)  = Tin;
dd(1)   = dd;
ee(1)   = ee;
ff(1)   = ff;
gg(1)   = gg;
hh(1)   = hh;
ii(1)   = ii;
mm(1)   = mm;
nn(1)   = nn;
oo(1)   = oo;
pp(1)   = pp;
qq(1)   = qq;
rr(1)   = rr;

```

Tam = Tenter-273;

Time = [1:k];

Qabsorp_r1 = pQr1(1)*Time(1).^7+pQr1(2)*Time(1).^6+pQr1(3)*Time(1).^5+pQr1(4)*Time(1).^4+pQr1(5)*Time(1).^3+pQr1(6)*Time(1).^2+pQr1(7)*Time(1).^1+pQr1(8);

Qabsorp_r2 = pQr2(1)*Time(1).^7+pQr2(2)*Time(1).^6+pQr2(3)*Time(1).^5+pQr2(4)*Time(1).^4+pQr2(5)*Time(1).^3+pQr2(6)*Time(1).^2+pQr2(7)*Time(1).^1+pQr2(8);

Qabsorp_w1 = pQw1(1)*Time(1).^7+pQw1(2)*Time(1).^6+pQw1(3)*Time(1).^5+pQw1(4)*Time(1).^4+pQw1(5)*Time(1).^3+pQw1(6)*Time(1).^2+pQw1(7)*Time(1).^1+pQw1(8);

Qabsorp_w2 = pQw2(1)*Time(1).^7+pQw2(2)*Time(1).^6+pQw2(3)*Time(1).^5+pQw2(4)*Time(1).^4+pQw2(5)*Time(1).^3+pQw2(6)*Time(1).^2+pQw2(7)*Time(1).^1+pQw2(8);

for i=1:k-1

 i=i+1;

 j=j+1;

 Tam(i) = Tam(i)+273.15;

 Tsky(i) = 0.0552*Tam(i).^1.5;

 Tinlet(i) = Tleave1(i);

 Qabsorp_r1(i) = pQr1(1)*Time(i).^7+pQr1(2)*Time(i).^6+pQr1(3)*Time(i).^5+pQr1(4)*Time(i).^4+pQr1(5)*Time(i).^3+pQr1(6)*Time(i).^2+pQr1(7)*Time(i).^1+pQr1(8);

 Qabsorp_r2(i) = pQr2(1)*Time(i).^7+pQr2(2)*Time(i).^6+pQr2(3)*Time(i).^5+pQr2(4)*Time(i).^4+pQr2(5)*Time(i).^3+pQr2(6)*Time(i).^2+pQr2(7)*Time(i).^1+pQr2(8);

 Qabsorp_w1(i) = pQw1(1)*Time(i).^7+pQw1(2)*Time(i).^6+pQw1(3)*Time(i).^5+pQw1(4)*Time(i).^4+pQw1(5)*Time(i).^3+pQw1(6)*Time(i).^2+pQw1(7)*Time(i).^1+pQw1(8);

 Qabsorp_w2(i) = pQw2(1)*Time(i).^7+pQw2(2)*Time(i).^6+pQw2(3)*Time(i).^5+pQw2(4)*Time(i).^4+pQw2(5)*Time(i).^3+pQw2(6)*Time(i).^2+pQw2(7)*Time(i).^1+pQw2(8);

 Qabdel_r1(i) = Qabsorp_r1(i);

 Qabdel_r2(i) = Qabsorp_r2(i);

 if Qabsorp_w1(i)<Qabsorp_w1(i-1)

 Qabdel_w1(i) = Qabsorp_w1(i);

```

else Qabdel_w1(i)= 0;
end
if Qabsorp_w2(i)>Qabsorp_w2(i-1)
    Qabdel_w2(i)  = Qabsorp_w2(i);
    else Qabdel_w2(i)= 0;
end
DeltaQ_r11(i) = 10;
DeltaQ_r12(i) = 10;
DeltaQ_r21(i) = 10;
DeltaQ_r22(i) = 10;
DeltaQ_w11(i) = 10;
DeltaQ_w12(i) = 10;
DeltaQ_w21(i) = 10;
DeltaQ_w22(i) = 10;

Tro1(i)  = Tro1(i-1);
Tro2(i)  = Tro2(i-1);
Tri(i)   = Tri(i-1);
Two1(i)  = Two1(i-1);
Two2(i)  = Two2(i-1);
Twi(i)   = Twi(i-1);
Tin(i)   = Tin(i-1);

dd(i)    = dd(i-1);
ee(i)    = ee(i-1);
ff(i)    = ff(i-1);
gg(i)    = gg(i-1);
hh(i)    = hh(i-1);
ii(i)    = ii(i-1);
mm(i)    = mm(i-1);
nn(i)    = nn(i-1);
oo(i)    = oo(i-1);

```

```

pp(i)    = pp(i-1);
qq(i)    = qq(i-1);
rr(i)    = rr(i-1);

airdensity_in(i) = -3.997e-3.*Tinlet(i)+2.3605;
m_rate(i)      = airdensity_in(i).*Ac_in.*Va_in;
Cp(i)         = 3e-002.*Tinlet(i)+9.98e+002;
Tro1(i) = dd(i);
Tro2(i) = ee(i);
Tri(i) = ff(i);

while DeltaQ_r11(i)>0.1 | DeltaQ_r11(i)<-0.1
    Tfo(i)      = (Tam(i)+Tro1(i))./2;
    kineviscos_Tfo(i) = (9.48e-002.*Tfo(i)-1.255e+001)*0.000001;
    k_Tfo(i)    = (7.7e-002.*Tfo(i)+3.2e+000)*0.001;
    Pr_Tfo(i)   = -2.0e-004.*Tfo(i)+7.67e-001;
    B_Tfo(i)    = 1./Tfo(i);
    Gr_r(i)     = abs(9.81*sin(beta_r1).*B_Tfo(i).*(Tro1(i)-Tam(i)).*(L_r^3))./(kineviscos_Tfo(i).^2);
    Ra_r(i)     = Gr_r(i).*Pr_Tfo(i);
    Nu_ro(i)    = (0.825+((0.387*Ra_r(i).^(1/6))./(1+(0.492./Pr_Tfo(i)).^(9/16)).^(8/27))).^2;
    hc_ro(i)    = Nu_ro(i).*k_Tfo(i)./L_r;
    hr(i)       = 5.67e-8*Emissivity_r*(Tsky(i)+Tro1(i)).*(Tsky(i).^2+Tro1(i).^2);
    Q_r11(i)    = hr(i).*(Tsky(i)-Tro1(i))+hc_ro(i).*(Tam(i)-Tro1(i))+abs(Qabdel_r1(i));
    Tri(i)      = Tro1(i)-Q_r11(i)*(thick_r/k_r);
    Tfi(i)      = (Tri(i)+Tin(i))/2;
    kineviscos_Tfi(i) = (9.48e-002*Tfi(i)-1.255e+001)*0.000001;
    k_Tfi(i)    = (7.7e-002*Tfi(i)+3.2e+000)*0.001;
    Pr_Tfi(i)   = -2.0e-004*Tfi(i)+7.67e-001;
    B_Tfi(i)    = 1./Tfi(i);
    Re_r(i)     = Vfp*L_r./kineviscos_Tfi(i);
    if Re_r(i)<5e+5
        Nu_ri(i) = 0.664*Pr_Tfi(i).^(1/3).*Re_r(i).^(1/2);
    elseif Re_r(i)>5e+5 & Re_r(i)<5.5e+6

```



```

Nu_ri(i)      = 0.036*Pr_Tfi(i).^(0.43).*(Re_r(i).^(0.8)-9200);
else
disp('Renolds number not in the range ');
end
hc_ri(i)      = Nu_ri(i).*k_Tfi(i)/L_r;
Q_r12(i)      = (Tri(i)-Tin(i))./(1./hc_ri(i));
DeltaQ_r11(i) = Q_r11(i)-Q_r12(i);
    if DeltaQ_r11(i)<0.1 | DeltaQ_r11(i)>0.1
        Tfo(i)      = (Tam(i)+Tro2(i))./2;
        kineviscos_Tfo(i) = (9.48e-002*Tfo(i)-1.255e+001)*0.000001;
        k_Tfo(i)      = (7.7e-002*Tfo(i)+3.2e+000)*0.001;
        Pr_Tfo(i)      = -2.0e-004*Tfo(i)+7.67e-001;
        B_Tfo(i)      = 1./Tfo(i);
        Gr_r(i)      = abs(9.81*sin(beta_r1)*B_Tfo(i).*(Tro2(i)-Tam(i)).*(L_r^3))./(kineviscos_Tfo(i).^2);
        Ra_r(i)      = Gr_r(i).*Pr_Tfo(i);
        Nu_ro(i)      = (0.825+((0.387*Ra_r(i).^(1/6))./(1+(0.492./Pr_Tfo(i)).^(9/16))).^(8/27)).^2;
        hc_ro(i)      = Nu_ro(i).*k_Tfo(i)/L_r;
        hr(i)      = 5.67e-8*Emissivity_r*(Tsky(i)+Tro2(i)).*(Tsky(i).^2+Tro2(i).^2);
        Q_r13(i)      = hr(i).*(Tsky(i)-Tro2(i))+hc_ro(i).*(Tam(i)-Tro2(i))+abs(Qabdel_r1(i));
        Tri(i)      = Tro2(i)-Q_r13(i).*(thick_r/k_r);
        Tfi(i)      = (Tri(i)+Tin(i))./2;
        kineviscos_Tfi(i) = (9.48e-002*Tfi(i)-1.255e+001)*0.000001;
        k_Tfi(i)      = (7.7e-002*Tfi(i)+3.2e+000)*0.001;
        Pr_Tfi(i)      = -2.0e-004*Tfi(i)+7.67e-001;
        B_Tfi(i)      = 1./Tfi(i);
        Re_r(i)      = Vfp*L_r/kineviscos_Tfi(i);
        if Re_r(i)<5e+5
            Nu_ri(i)      = 0.664*Pr_Tfi(i).^(1/3).*Re_r(i).^(1/2);
        elseif Re_r(i)>5e+5 & Re_r(i)<5.5e+6
            Nu_ri(i)      = 0.036*Pr_Tfi(i).^(0.43).*(Re_r(i).^(0.8)-9200);
        else
            disp('Renolds number not in the range ');

```

```

        end
        hc_ri(i) = Nu_ri(i).*k_Tfi(i)/L_r;
        Q_r14(i) = (Tri(i)-Tin(i))./(1/hc_ri(i));
        DeltaQ_r12(i) = Q_r13(i)-Q_r14(i);
        m(i) = (Tro2(i)-Tro1(i))./(DeltaQ_r12(i)-DeltaQ_r11(i));
        c(i) = Tro1(i)-m(i)*DeltaQ_r11(i);
        x(i) = c(i);
        Tro2(i) = Tro1(i);
        Tro1(i) = x(i);
    end
end
dd(i) = Tro1(i);
ee(i) = Tro2(i);
ff(i) = Tri(i);
Tro1(i) = gg(i);
Tro2(i) = hh(i);
Tri(i) = ii(i);

while DeltaQ_r21(i)>0.1 | DeltaQ_r21(i)<-0.1
    Tfo(i) = (Tam(i)+Tro1(i))./2;
    kineviscos_Tfo(i) = (9.48e-002*Tfo(i)-1.255e+001)*0.000001;
    k_Tfo(i) = (7.7e-002*Tfo(i)+3.2e+000)*0.001;
    Pr_Tfo(i) = -2.0e-004*Tfo(i)+7.67e-001;
    B_Tfo(i) = 1/Tfo(i);
    Gr_r(i) = abs(9.81*sin(beta_r2)*B_Tfo(i).*(Tro1(i)-Tam(i)).*(L_r^3))./(kineviscos_Tfo(i).^2);
    Ra_r(i) = Gr_r(i).*Pr_Tfo(i);
    Nu_ro(i) = (0.825+((0.387*Ra_r(i).^(1/6))./(1+(0.492/Pr_Tfo(i)).^(9/16)).^(8/27))).^2;
    hc_ro(i) = Nu_ro(i).*k_Tfo(i)/L_r;
    hr(i) = 5.67e-8*Emissivity_r*(Tsky(i)+Tro1(i)).*(Tsky(i).^2+Tro1(i).^2);
    Q_r21(i) = hr(i).*(Tsky(i)-Tro1(i))+hc_ro(i).*(Tam(i)-Tro1(i))+abs(Qabdel_r2(i));
    Tri(i) = Tro1(i)-Q_r21(i)*(thick_r/k_r);
    Tfi(i) = (Tri(i)+Tin(i))./2;

```

```

kineviscos_Tfi(i) = (9.48e-002*Tfi(i)-1.255e+001)*0.000001;
k_Tfi(i)         = (7.7e-002*Tfi(i)+3.2e+000)*0.001;
Pr_Tfi(i)        = -2.0e-004*Tfi(i)+7.67e-001;
B_Tfi(i)         = 1/Tfi(i);
Re_r(i)          = Vfp*L_r/kineviscos_Tfi(i);
if Re_r(i)<5e+5
Nu_ri(i)         = 0.664*Pr_Tfi(i).^(1/3).*Re_r(i).^(1/2);
elseif Re_r(i)>5e+5 & Re_r(i)<5.5e+6
Nu_ri(i)         = 0.036*Pr_Tfi(i).^(0.43).*(Re_r(i).^(0.8)-9200);
else
disp('Renolds number not in the range');
end
hc_ri(i)         = Nu_ri(i).*k_Tfi(i)/L_r;
Q_r22(i)         = (Tri(i)-Tin(i))./(1/hc_ri(i));
DeltaQ_r21(i)    = Q_r21(i)-Q_r22(i);
if DeltaQ_r21(i)<-0.1 | DeltaQ_r21(i)>0.1
Tfo(i)          = (Tam(i)+Tro2(i))/2;
kineviscos_Tfo(i) = (9.48e-002*Tfo(i)-1.255e+001)*0.000001;
k_Tfo(i)         = (7.7e-002*Tfo(i)+3.2e+000)*0.001;
Pr_Tfo(i)        = -2.0e-004*Tfo(i)+7.67e-001;
B_Tfo(i)         = 1/Tfo(i);
Gr_r(i)          = abs(9.81*sin(beta_r2)*B_Tfo(i).*(Tro2(i)-Tam(i)).*(L_r^3))./(kineviscos_Tfo(i).^2);
Ra_r(i)          = Gr_r(i).*Pr_Tfo(i);
Nu_ro(i)         = (0.825+((0.387*Ra_r(i).^(1/6))./(1+(0.492/Pr_Tfo(i)).^(9/16)).^(8/27))).^2;
hc_ro(i)         = Nu_ro(i).*k_Tfo(i)/L_r;
hr(i)            = 5.67e-8*Emissivity_r*(Tsky(i)+Tro2(i)).*(Tsky(i).^2+Tro2(i).^2);
Q_r23(i)         = hr(i).*(Tsky(i)-Tro2(i))+hc_ro(i).*(Tam(i)-Tro2(i))+abs(Qabdel_r2(i));
Tri(i)           = Tro2(i)-Q_r23(i)*(thick_r/k_r);
Tfi(i)           = (Tri(i)+Tin(i))/2;
kineviscos_Tfi(i) = (9.48e-002*Tfi(i)-1.255e+001)*0.000001;
k_Tfi(i)         = (7.7e-002*Tfi(i)+3.2e+000)*0.001;
Pr_Tfi(i)        = -2.0e-004*Tfi(i)+7.67e-001;

```

```

B_Tfi(i)    = 1/Tfi(i);
Re_r(i)     = Vfp*L_r/kineviscos_Tfi(i);
    if Re_r(i)<5e+5
        Nu_ri(i) = 0.664*Pr_Tfi(i).^(1/3).*Re_r(i).^(1/2);
    elseif Re_r(i)>5e+5 & Re_r(i)<5.5e+6
        Nu_ri(i) = 0.036*Pr_Tfi(i).^(0.43).*(Re_r(i).^(0.8)-9200);
    else
        disp('Renolds number not in the range');
    end
hc_ri(i)    = Nu_ri(i).*k_Tfi(i)/L_r;
Q_r24(i)    = (Tri(i)-Tin(i))./(1/hc_ri(i));
DeltaQ_r22(i) = Q_r23(i)-Q_r24(i);
m(i)       = (Tro2(i)-Tro1(i))./(DeltaQ_r22(i)-DeltaQ_r21(i));
c(i)       = Tro1(i)-m(i)*DeltaQ_r21(i);
x(i)       = c(i);
Tro2(i)    = Tro1(i);
Tro1(i)    = x(i);
    end
end
gg(i)      = Tro1(i);
hh(i)      = Tro2(i);
ii(i)      = Tri(i);
Two1(i)    = mm(i);
Two2(i)    = nn(i);
Twi(i)     = oo(i);

while DeltaQ_w11(i)>0.1 | DeltaQ_w11(i)<-0.1
    Tfo(i)    = (Tam(i)+Two1(i))/2;
    kineviscos_Tfo(i) = (9.48e-002*Tfo(i)-1.255e+001)*0.000001;
    k_Tfo(i)  = (7.7e-002*Tfo(i)+3.2e+000)*0.001;
    Pr_Tfo(i) = -2.0e-004*Tfo(i)+7.67e-001;
    B_Tfo(i)  = 1/Tfo(i);
    Gr_w(i)   = abs(9.81*B_Tfo(i).*(Two1(i)-Tam(i)).*(L_w^3))./(kineviscos_Tfo(i).^2);

```

```

Ra_w(i) = Gr_w(i).*Pr_Tfo(i);
Nu_wo(i) = (0.825+((0.387*Ra_w(i).^(1/6))./(1+(0.492/Pr_Tfo(i)).^(9/16)).^(8/27))).^2;
hc_wo(i) = Nu_wo(i).*k_Tfo(i)/L_w;
hr(i) = 5.67e-8*Emissivity_w*(Tsky(i)+Two1(i)).*(Tsky(i).^2+Two1(i).^2);
Q_w11(i) = hr(i).*(Tsky(i)-Two1(i))+hc_wo(i).*(Tarn(i)-Two1(i))+abs(Qabdel_w1(i));
Twi(i) = Two1(i)-Q_w11(i)*(thick_w/k_w);
Tfi(i) = (Twi(i)+Tin(i))/2;
kineviscos_Tfi(i) = (9.48e-002*Tfi(i)-1.255e+001)*0.000001;
k_Tfi(i) = (7.7e-002*Tfi(i)+3.2e+000)*0.001;
Pr_Tfi(i) = -2.0e-004*Tfi(i)+7.67e-001;
B_Tfi(i) = 1/Tfi(i);
Re_w(i) = Vfp*L_w/kineviscos_Tfi(i);
if Re_w(i)<5e+5
Nu_wi(i) = 0.664*Pr_Tfi(i).^(1/3).*Re_w(i).^(1/2);
elseif Re_w(i)>5e+5 & Re_w(i)<5.5e+6
Nu_wi(i) = 0.036*Pr_Tfi(i).^(0.43).*(Re_w(i).^(0.8)-9200);
else
disp('Renolds number not in the range ');
end
hc_wi(i) = Nu_wi(i).*k_Tfi(i)/L_w;
Q_w12(i) = (Twi(i)-Tin(i))./(1/hc_wi(i));
DeltaQ_w11(i) = Q_w11(i)-Q_w12(i);
if DeltaQ_w11(i)<-0.1 | DeltaQ_w11(i)>0.1
Tfo(i) = (Tam(i)+Two2(i))/2;
kineviscos_Tfo(i) = (9.48e-002*Tfo(i)-1.255e+001)*0.000001;
k_Tfo(i) = (7.7e-002*Tfo(i)+3.2e+000)*0.001;
Pr_Tfo(i) = -2.0e-004*Tfo(i)+7.67e-001;
B_Tfo(i) = 1/Tfo(i);
Gr_w(i) = abs(9.81*B_Tfo(i).*(Two2(i)-Tam(i))*(L_w^3))./(kineviscos_Tfo(i).^2);
Ra_w(i) = Gr_w(i).*Pr_Tfo(i);
Nu_wo(i) = (0.825+((0.387*Ra_w(i).^(1/6))./(1+(0.492/Pr_Tfo(i)).^(9/16)).^(8/27))).^2;
hc_wo(i) = Nu_wo(i).*k_Tfo(i)/L_w;

```

```

hr(i)      = 5.67e-8*Emissivity_w*(Tsky(i)+Two2(i)).*(Tsky(i).^2+Two2(i).^2);
Q_w13(i)   = hr(i).*(Tsky(i)-Two2(i))+hc_w0(i).*(Tam(i)-Two2(i))+abs(Qabdel_w1(i));
Twi(i)     = Two2(i)-Q_w13(i)*(thick_w/k_w);
Tfi(i)     = (Twi(i)+Tin(i))/2;
kineviscos_Tfi(i)=(9.48e-002*Tfi(i)-1.255e+001)*0.000001;
k_Tfi(i)   = (7.7e-002*Tfi(i)+3.2e+000)*0.001;
Pr_Tfi(i)  = -2.0e-004*Tfi(i)+7.67e-001;
B_Tfi(i)   = 1/Tfi(i);
Re_w(i)    = Vfp*L_w/kineviscos_Tfi(i);
    if Re_w(i)<5e+5
        Nu_wi(i) = 0.664*Pr_Tfi(i).^(1/3).*Re_w(i).^(1/2);
    elseif Re_w(i)>5e+5 & Re_w(i)<5.5e+6
        Nu_wi(i) = 0.036*Pr_Tfi(i).^(0.43).*(Re_w(i).^(0.8)-9200);
    else
        disp('Renolds number not in the range ');
    end
hc_wi(i)   = Nu_wi(i).*k_Tfi(i)/L_w;
Q_w14(i)   = (Twi(i)-Tin(i))./(1/hc_wi(i));
DeltaQ_w12(i) = Q_w13(i)-Q_w14(i);
m(i)       = (Two2(i)-Two1(i))./(DeltaQ_w12(i)-DeltaQ_w11(i));
c(i)       = Two1(i)-m(i)*DeltaQ_w11(i);
x(i)       = c(i);
Two2(i)    = Two1(i);
Two1(i)    = x(i);
end
end
mm(i) = Two1(i);
nn(i) = Two2(i);
oo(i) = Twi(i);
Two1(i) = pp(i);
Two2(i) = qq(i);
Twi(i) = rr(i);

```

```

while DeltaQ_w21(i)>0.1 | DeltaQ_w21(i)<-0.1
Tfo(i)      = (Tam(i)+Two1(i))/2;
kineviscos_Tfo(i)=( 9.48e-002*Tfo(i)-1.255e+001)*0.000001;
k_Tfo(i)    = (7.7e-002*Tfo(i)+3.2e+000)*0.001;
Pr_Tfo(i)   = -2.0e-004*Tfo(i)+7.67e-001;
B_Tfo(i)    = 1/Tfo(i);
Gr_w(i)     = abs(9.81*B_Tfo(i).*(Two1(i)-Tam(i))*(L_w^3))./(kineviscos_Tfo(i).^2);
Ra_w(i)     = Gr_w(i).*Pr_Tfo(i);
Nu_wo(i)    = (0.825+((0.387*Ra_w(i).^(1/6))./(1+(0.492/Pr_Tfo(i)).^(9/16)).^(8/27))).^2;
hc_wo(i)    = Nu_wo(i).*k_Tfo(i)/L_w;
hr(i)       = 5.67e-8*Emissivity_w*(Tsky(i)+Two1(i)).*(Tsky(i).^2+Two1(i).^2);
Q_w21(i)    = hr(i).*(Tsky(i)-Two1(i))+hc_wo(i).*(Tam(i)-Two1(i))+abs(Qabdel_w2(i));
Twi(i)      = Two1(i)-Q_w21(i)*(thick_w/k_w);
Tfi(i)      = (Twi(i)+Tin(i))/2;
kineviscos_Tfi(i)=( 9.48e-002*Tfi(i)-1.255e+001)*0.000001;
k_Tfi(i)    = (7.7e-002*Tfi(i)+3.2e+000)*0.001;
Pr_Tfi(i)   = -2.0e-004*Tfi(i)+7.67e-001;
B_Tfi(i)    = 1/Tfi(i);
Re_w(i)     = Vfp*L_w/kineviscos_Tfi(i);
if Re_w(i)<5e+5
Nu_wi(i)    = 0.664*Pr_Tfi(i).^(1/3).*Re_w(i).^(1/2);
elseif Re_w(i)>5e+5 & Re_w(i)<5.5e+6
Nu_wi(i)    = 0.036*Pr_Tfi(i).^(0.43).*(Re_w(i).^(0.8)-9200);
else
disp('Renolds number not in the range ');
end
hc_wi(i)    = Nu_wi(i).*k_Tfi(i)/L_w;
Q_w22(i)    = (Twi(i)-Tin(i))./(1/hc_wi(i));
DeltaQ_w21(i) = Q_w21(i)-Q_w22(i);
if DeltaQ_w21(i)<-0.1 | DeltaQ_w21(i)>0.1
Tfo(i)      = (Tam(i)+Two2(i))/2;
kineviscos_Tfo(i)=( 9.48e-002*Tfo(i)-1.255e+001)*0.000001;

```

```

k_Tfo(i) = (7.7e-002*Tfo(i)+3.2e+000)*0.001;
Pr_Tfo(i) = -2.0e-004*Tfo(i)+7.67e-001;
B_Tfo(i) = 1/Tfo(i);
Gr_w(i) = abs(9.81*B_Tfo(i).*(Two2(i)-Tam(i))*(L_w^3))./(kineviscos_Tfo(i).^2);
Ra_w(i) = Gr_w(i).*Pr_Tfo(i);
Nu_wo(i) = (0.825+((0.387*Ra_w(i).^(1/6))./(1+(0.492/Pr_Tfo(i)).^(9/16)).^(8/27))).^2;
hc_wo(i) = Nu_wo(i).*k_Tfo(i)/L_w;
hr(i) = 5.67e-8*Emissivity_w*(Tsky(i)+Two2(i)).*(Tsky(i).^2+Two2(i).^2);
Q_w23(i) = hr(i).*(Tsky(i)-Two2(i))+hc_wo(i).*(Tam(i)-Two2(i))+abs(Qabdel_w2(i));
Twi(i) = Two2(i)-Q_w23(i).*(thick_w/k_w);
Tfi(i) = (Twi(i)+Tin(i))/2;
kineviscos_Tfi(i) = (9.48e-002*Tfi(i)-1.255e+001)*0.000001;
k_Tfi(i) = (7.7e-002*Tfi(i)+3.2e+000)*0.001;
Pr_Tfi(i) = -2.0e-004*Tfi(i)+7.67e-001;
B_Tfi(i) = 1/Tfi(i);
Re_w(i) = Vfp*L_w/kineviscos_Tfi(i);
    if Re_w(i)<5e+5
        Nu_wi(i) = 0.664*Pr_Tfi(i).^(1/3).*Re_w(i).^(1/2);
    elseif Re_w(i)>5e+5 & Re_w(i)<5.5e+6
        Nu_wi(i) = 0.036*Pr_Tfi(i).^(0.43).*(Re_w(i).^(0.8)-9200);
    else
        disp('Renolds number not in the range ');
    end
hc_wi(i) = Nu_wi(i).*k_Tfi(i)/L_w;
Q_w24(i) = (Twi(i)-Tin(i))./(1/hc_wi(i));
DeltaQ_w22(i) = Q_w23(i)-Q_w24(i);
m(i) = (Two2(i)-Two1(i))./(DeltaQ_w22(i)-DeltaQ_w21(i));
c(i) = Two1(i)-m(i)*DeltaQ_w21(i);
x(i) = c(i);
Two2(i) = Two1(i);
Two1(i) = x(i);
end

```

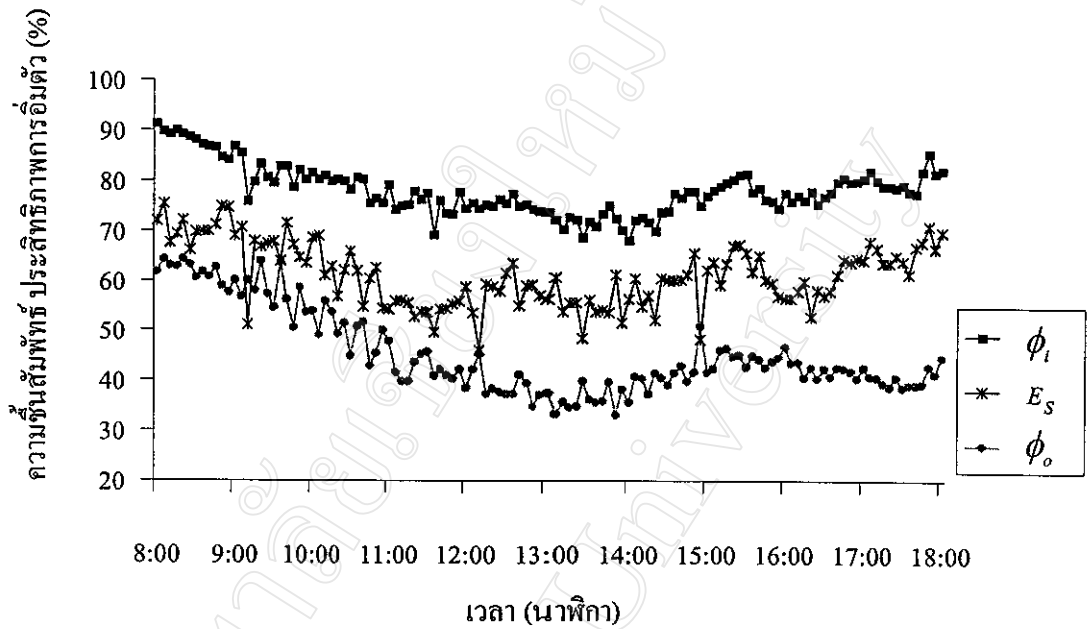


```
end
pp(i) = Two1(i);
qq(i) = Two2(i);
rr(i) = Twi(i);
Qvent(i) = m_rate(i).*Cp(i).*(Tinlet(i)-Tin(i));
Qttotal(i) = Q_r11(i)*A_r1+Q_r21(i)*A_r2+Q_w11(i)*A_w1+Q_w21(i)*A_w2+Qvent(i)+Qswine;
Tin(i) = Qttotal(i)./(m_rate(i).*Cp(i))+Tin(i);
end
```

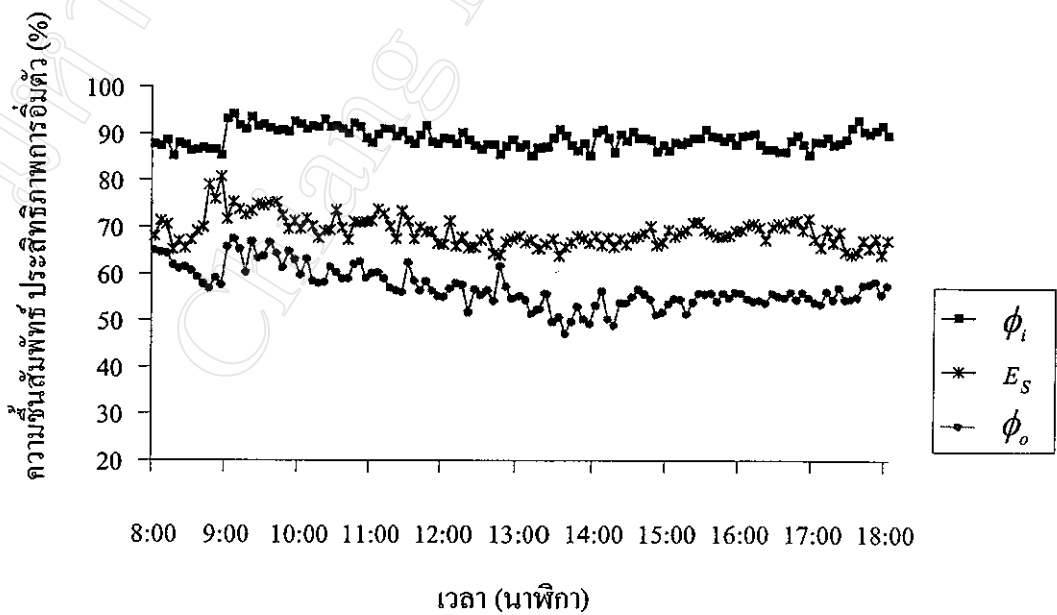
ภาคผนวก ง

แผนภูมิความชื้นสัมพัทธ์ของอากาศก่อนและหลังผ่านแผงระเหยน้ำ

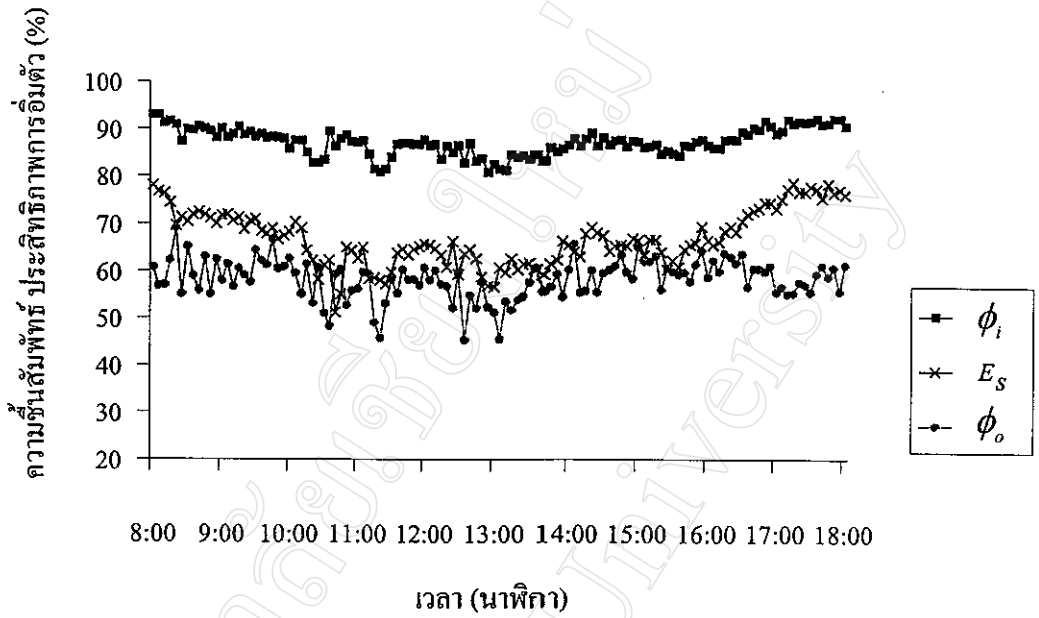
แผนภูมิประสิทธิภาพการอิมตัว ที่ 0.50 m³/s, 0.75 m³/s และวิธีหาความชื้นสัมพัทธ์ของอากาศ



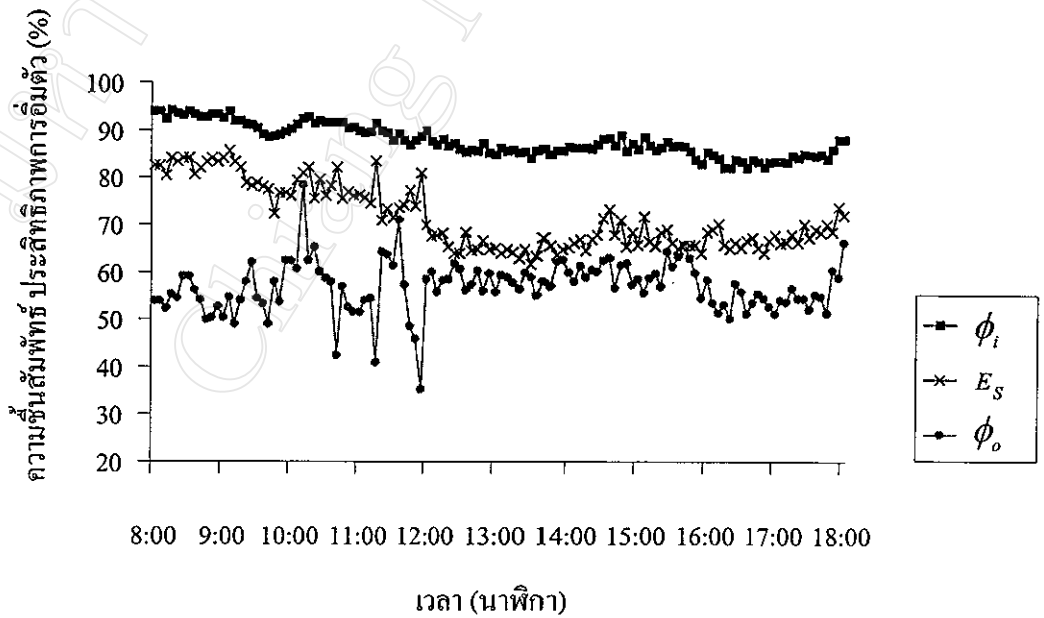
รูป ง.1 ความชื้นสัมพัทธ์ของอากาศก่อนและหลังผ่านแผงระเหยน้ำแบบกระสอบป่าน และประสิทธิภาพการฮีตตัว ที่ $0.50 \text{ m}^3/\text{s}$



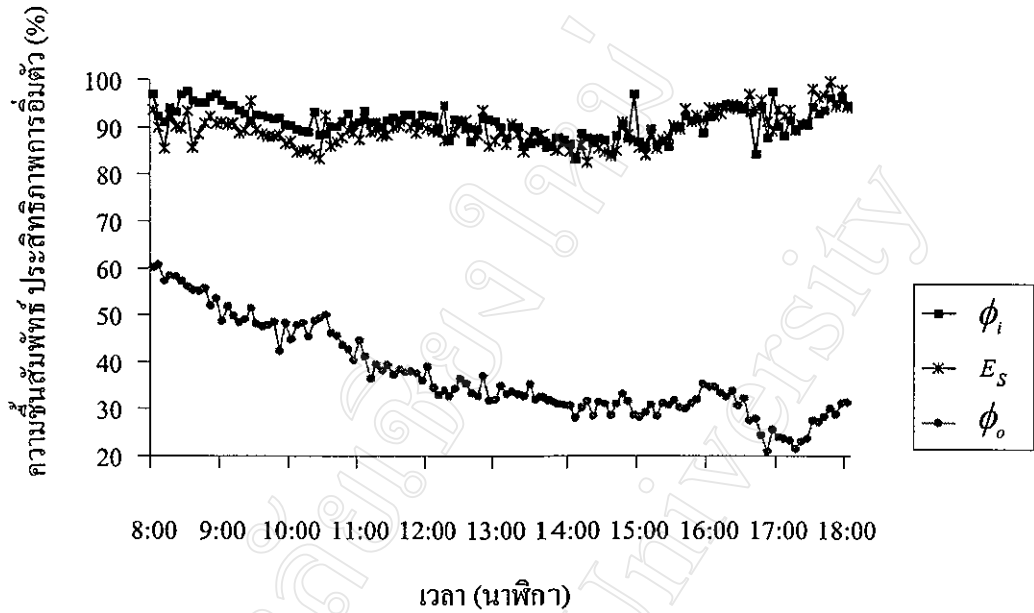
รูป ง.2 ความชื้นสัมพัทธ์ของอากาศก่อนและหลังผ่านแผงระเหยน้ำแบบกระสอบป่าน และประสิทธิภาพการฮีตตัว ที่ $0.75 \text{ m}^3/\text{s}$



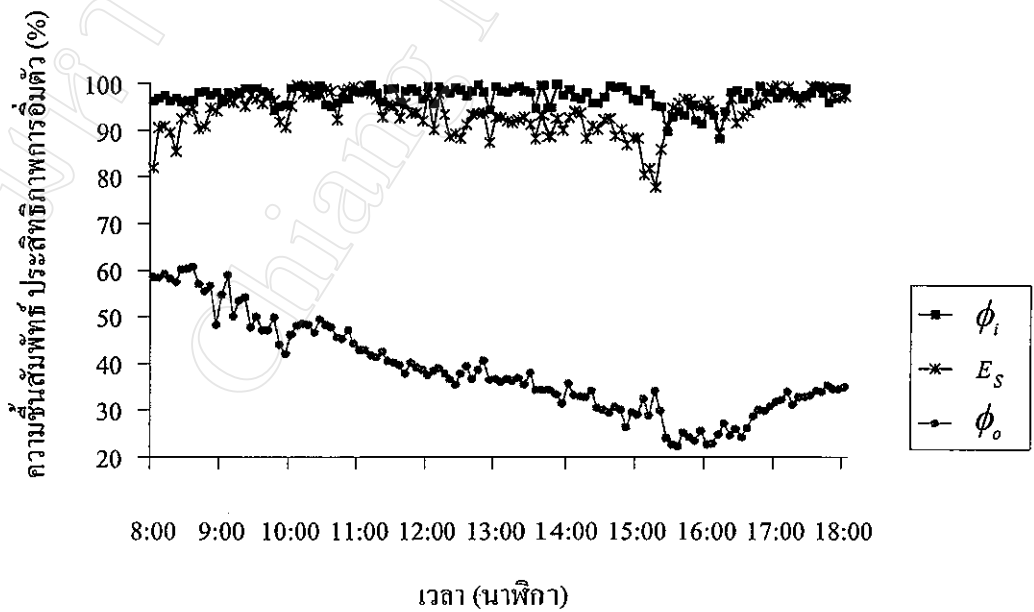
รูป ง.3 ความชื้นสัมพัทธ์ของอากาศก่อนและหลังผ่านแผงระเหยน้ำแบบคอนกรีตมีรูพรุน และประสิทธิภาพการอิมตัว ที่ 0.50 m³/s



รูป ง.4 ความชื้นสัมพัทธ์ของอากาศก่อนและหลังผ่านแผงระเหยน้ำแบบคอนกรีตมีรูพรุน และประสิทธิภาพการอิมตัว ที่ 0.75 m³/s



รูป ง.5 ความชื้นสัมพัทธ์ของอากาศก่อนและหลังผ่านแผงระเหยน้ำแบบเยื่อกระดาษ และประสิทธิภาพการอิมตัว ที่ $0.50 \text{ m}^3/\text{s}$



รูป ง.6 ความชื้นสัมพัทธ์ของอากาศก่อนและหลังผ่านแผงระเหยน้ำแบบเยื่อกระดาษ และประสิทธิภาพการอิมตัว ที่ $0.75 \text{ m}^3/\text{s}$

การหาความชื้นสัมพัทธ์ของอากาศ เมื่อทราบอุณหภูมิแห้ง (T_d) และอุณหภูมิกระเปาะเปียก (T_w) (ASHRAE, 1985) มีขั้นตอนดังต่อไปนี้

1. คำนวณความดันไอน้ำอิ่มตัว (Saturation pressure of water vapor, P_{vs}) ที่อุณหภูมิ T_d (K) และ T_w (K)

$$\ln(P_{vs,T_d}) = C_1/T_d + C_2 + C_3(T_d) + C_4(T_d)^2 + C_5(T_d)^3 + C_6(\ln T_d) \quad (จ.1)$$

$$\ln(P_{vs,T_w}) = C_1/T_w + C_2 + C_3(T_w) + C_4(T_w)^2 + C_5(T_w)^3 + C_6(\ln T_w) \quad (จ.2)$$

เมื่อ

$$C_1 = -5800.2206$$

$$C_2 = 1.3914993$$

$$C_3 = -0.04860239$$

$$C_4 = 0.41764768 \times 10^{-4}$$

$$C_5 = -0.14452093 \times 10^{-7}$$

$$C_6 = 6.5459673$$

2. คำนวณอัตราส่วนความชื้นของอากาศอิ่มตัว (ω_s) ที่อุณหภูมิ T_w (K)

$$\omega_{s,T_w} = 0.62198 \left(\frac{P_{vs,T_w}}{P - P_{vs,T_w}} \right) \quad (จ.3)$$

เมื่อ P คือ ความดันบรรยากาศ เท่ากับ 101325 Pa (ที่ระดับน้ำทะเล อุณหภูมิอากาศ 15°C)

3. คำนวณอัตราส่วนความชื้น (ω)

$$\omega = \frac{(2501 - 2.381T_w)\omega_{s,T_w} - (T_d - T_w)}{2501 + 1.805T_d - 4.186T_w} \quad (3.4)$$

4. คำนวณความดันบางส่วนของไอน้ำ (P_v)

$$P_v = \frac{P\omega}{0.62189 + \omega} \quad (3.5)$$

5. คำนวณความชื้นสัมพัทธ์ ($\phi, \%$)

$$\phi = \frac{P_v}{P_{vs,T_d}} \times 100 \quad (3.6)$$

มหาวิทยาลัยเชียงใหม่
Chiang Mai University

ภาคผนวก จ

ผลการทำนายอุณหภูมิอากาศภายในโรงเรือนทดลอง

สมการทำนายอุณหภูมิอากาศในโรงเรือนทดลอง

จากข้อมูลการทดลองทำการหาสมการทำนายอุณหภูมิอากาศภายในโรงเรือนทดลอง ตามประเภทของแผงระเหยน้ำ แล้วหา T_{di} โดยเลือก T_{do} และ T_{wo} จากการทดลอง 1 วัน คือ วันที่ 9 พฤษภาคม พ.ศ. 2545 ได้ผลดังตาราง จ.1-จ.3

จ.1 สมการทำนายอุณหภูมิอากาศในโรงเรือนทดลองที่ใช้แผงระเหยน้ำแบบกระสอบป่าน

F (m^3/s)	สมการ	R^2	$T_{do} - T_{di}$ เฉลี่ย	$T_{do} - T_{di}$ สูงสุด
0.25	$T_{di} = 0.02676T_{do}^2 - 0.0361(T_{do} - T_{wo})^2 - 0.599T_{do}$ $- 0.0216(T_{do} - T_{wo}) + 21.145$	0.918	6.2	9.0
0.50	$T_{di} = -0.0258T_{do}^2 + 0.03747(T_{do} - T_{wo})^2 + 2.775T_{do}$ $- 1.393(T_{do} - T_{wo}) - 27.044$	0.962	6.7	9.5
0.75	$T_{di} = 0.04823T_{do}^2 - 0.061(T_{do} - T_{wo})^2 - 2.541T_{do}$ $+ 0.868(T_{do} - T_{wo}) + 55.159$	0.966	7.1	10.3
1.00	$T_{di} = 0.009218T_{do}^2 - 0.00806(T_{do} - T_{wo})^2 + 0.263T_{do}$ $- 0.26(T_{do} - T_{wo}) + 11.742$	0.956	6.2	8.7

ตาราง จ.2 สมการทำนายอุณหภูมิอากาศในโรงเรือนทดลองที่ใช้แผงระเหยน้ำแบบคอนกรีตมีรูพรุน

F (m^3/s)	สมการ	R^2	$T_{do} - T_{di}$ เฉลี่ย	$T_{do} - T_{di}$ สูงสุด
0.25	$T_{di} = -0.0611T_{do}^2 + 0.09095(T_{do} - T_{wo})^2 + 4.654T_{do}$ $- 1.297(T_{do} - T_{wo}) - 52.677$	0.911	2.9	4.1
0.50	$T_{di} = 0.00001T_{do}^2 + 0.01362(T_{do} - T_{wo})^2 + 0.876T_{do}$ $- 0.495(T_{do} - T_{wo}) + 2.831$	0.966	5.0	9.2
0.75	$T_{di} = -0.00001T_{do}^2 + 0.008618(T_{do} - T_{wo})^2 + 0.98T_{do}$ $- 0.65(T_{do} - T_{wo}) + 0.735$	0.952	5.6	7.9
1.00	$T_{di} = 0.01475T_{do}^2 + 0.009873(T_{do} - T_{wo})^2 + 0.182T_{do}$ $- 0.715(T_{do} - T_{wo}) + 11.726$	0.970	5.1	6.3

ตาราง จ.3 สมการทำนายอุณหภูมิอากาศในโรงเรือนทดลองที่ใช้แผงระเหยน้ำแบบเขี่ยกระดาษ

F (m^3/s)	สมการ	R^2	$T_{do} - T_{di}$ เฉลี่ย	$T_{do} - T_{di}$ สูงสุด
0.25	$T_{di} = -0.0414T_{do}^2 + 0.12(T_{do} - T_{wo})^2 + 3.329T_{do} - 2.122(T_{do} - T_{wo}) - 29.198$	0.805	6.9	8.3
0.50	$T_{di} = 0.02647T_{do}^2 - 0.0254(T_{do} - T_{wo})^2 - 0.635T_{do} - 0.5(T_{do} - T_{wo}) + 23.69$	0.763	8.9	13.1
0.75	$T_{di} = 0.04789T_{do}^2 - 0.0659(T_{do} - T_{wo})^2 - 2.568T_{do} + 0.933(T_{do} - T_{wo}) + 53.361$	0.647	10.1	13.8
1.00	$T_{di} = -0.039T_{do}^2 + 0.03451(T_{do} - T_{wo})^2 + 3.276T_{do} - 1.363(T_{do} - T_{wo}) - 32.061$	0.648	10.2	15.2

มหาวิทยาลัยเชียงใหม่
Chiang Mai University

ภาคผนวก จ

การคำนวณน้ำหนักสุกรจากอุณหภูมิอากาศ

การคำนวณน้ำหนักสุกรจากอุณหภูมิอากาศภายในโรงเรือน และคำนวณรายได้จากการขายสุกร

น้ำหนักสุกรที่อาศัยในโรงเรือนจะขึ้นกับอุณหภูมิอากาศภายในโรงเรือน โดยอุณหภูมิอากาศที่ค่อนข้างต่ำจะลดความเครียดที่เกิดจากความร้อน ทำให้สุกรกินอาหารได้มากขึ้น จึงได้มีการนำระบบทำความเย็นแบบระเหยโดยตรงมาใช้เพื่อลดอุณหภูมิอากาศในโรงเรือน

หัวข้อนี้จะเป็นการคำนวณน้ำหนักสุกรในกรณีที่เป็นโรงเรือนแบบเปิดซึ่งไม่ใช่ระบบทำความเย็นแบบระเหยโดยตรง และแบบใช้ระบบทำความเย็นแบบระเหยโดยตรงที่แผงระเหยน้ำขนาด 14 ตารางเมตร และ 21 ตารางเมตร ซึ่งใช้ข้อมูลน้ำหนักของสุกรที่เพิ่มขึ้นต่อวันจากผลของอุณหภูมิ ดังตาราง จ.1 โดยยกตัวอย่างการคำนวณในวันแรกของแต่ละฤดู ในช่วงเวลาต่างๆ มาแสดง ดังตาราง จ.2 ซึ่งผลของน้ำหนักในวันต่างๆ จะมีผลในการคำนวณในวันถัดไปจนครบ 120 วัน การคำนวณจะกำหนดให้อุณหภูมิอากาศภายในโรงเรือนช่วงเวลาที่ไม่ได้ใช้ระบบทำความเย็นมีค่าเท่ากัน คือ ตั้งแต่เวลา 19.00-7.00น. โดยอุณหภูมิอากาศภายในโรงเรือนแบบเปิดกำหนดให้ต่ำกว่าอุณหภูมิอากาศภายนอก 0.1-3.8 องศาเซลเซียส

จากการคำนวณน้ำหนักสุกรจนครบ 120 วัน ด้วยโปรแกรมคอมพิวเตอร์ ได้ผลของน้ำหนักสุกรดังตาราง จ.3

จากน้ำหนักสุกรที่เพิ่มขึ้นต่อตัวในตาราง จ.3 นำไปคูณกับราคาขายสุกร (กิโลกรัมละ 70 บาท) จะได้รายได้ที่เพิ่มขึ้นต่อตัว และนำรายได้ที่เพิ่มขึ้นต่อตัวคูณกับจำนวนสุกรในโรงเรือน (600 ตัว) เป็นรายได้ที่เพิ่มขึ้นจากการใช้ระบบทำความเย็นแบบระเหยโดยตรง ดังตาราง จ.4

จากตาราง จ.4 แสดงให้เห็นว่าโรงเรือนเลี้ยงสุกรที่ใช้ระบบทำความเย็นแบบระเหยโดยตรงที่ใช้แผงระเหยน้ำขนาด 14 และ 21 ตารางเมตร มีรายได้เพิ่มขึ้นต่อปีเมื่อเปรียบเทียบกับโรงเรือนแบบเปิด เท่ากับ 348,600 และ 772,800 บาท ตามลำดับ

ตาราง ฉ.1 ผลของอุณหภูมิต่อการเติบโตต่อวันของสุกร (ก.ก.)

น้ำหนัก (ก.ก.)	อุณหภูมิ (°C)							
	4	10	16	21	27	32	28	43
45	-	0.62	0.72	0.91	0.89	0.64	0.18	0.60
68	0.58	0.67	0.79	0.98	0.83	0.52	0.19	1.18
90	0.54	0.71	0.87	1.01	0.76	0.40	0.35	-
113	0.50	0.76	0.84	0.97	0.68	0.28	0.62	-
136	0.46	0.80	1.02	0.93	0.62	0.16	0.88	-
159	0.43	0.85	1.09	0.90	0.55	0.15	0.15	-

ที่มา: บุญลือ (2536)

ตาราง ก.2 อุณหภูมิอากาศในโรงเรือนและน้ำหนักสุกรของวันแรกในการคำนวณ

ฤดู	เวลา (นาฬิกา)	$T_{di SH}$ (°C)			น.น. สุกรที่เพิ่มขึ้น (ก.ก.)			น.น. สุกร (ก.ก.)		
		No evap.	14 m ²	21 m ²	No evap.	14 m ²	21 m ²	No evap.	14 m ²	21 m ²
ร้อน	1-4	24.13	24.13	24.13	0.1124	0.1124	0.1124	45.112	45.112	45.112
	4-7	22.93	22.80	22.80	0.1130	0.1130	0.1130	45.225	45.225	45.225
	7-10	25.00	24.09	23.11	0.1121	0.1125	0.1129	45.338	45.338	45.338
	10-13	29.75	28.24	25.95	0.0939	0.1036	0.1116	45.431	45.442	45.450
	13-16	31.20	29.61	26.77	0.0847	0.0948	0.1112	45.516	45.536	45.561
	16-19	29.08	27.57	25.16	0.0979	0.1076	0.1120	45.614	45.644	45.673
	19-22	27.63	26.97	26.11	0.1070	0.1111	0.1115	45.721	45.755	45.785
	22-1	26.73	26.73	26.73	0.1111	0.1111	0.1111	45.832	45.866	45.896
ฝน	1-4	23.53	23.53	23.53	0.1127	0.1127	0.1127	45.113	45.113	45.113
	4-7	23.18	23.15	23.15	0.1128	0.1129	0.1129	45.226	45.226	45.226
	7-10	23.80	23.67	23.64	0.1126	0.1127	0.1127	45.338	45.338	45.338
	10-13	25.33	24.92	24.51	0.1119	0.1121	0.1123	45.450	45.450	45.451
	13-16	26.18	25.52	24.88	0.1115	0.1118	0.1121	45.562	45.562	45.563
	16-19	25.23	24.78	24.40	0.1119	0.1121	0.1123	45.673	45.674	45.675
	19-22	24.35	24.25	24.15	0.1123	0.1124	0.1124	45.786	45.787	45.787
	22-1	24.25	24.25	24.25	0.1124	0.1124	0.1124	45.898	45.899	45.900
หนาว	1-4	18.88	18.88	18.88	0.1038	0.1038	0.1038	45.104	45.104	45.104
	4-7	17.88	17.83	17.83	0.0991	0.0988	0.0988	45.203	45.203	45.203
	7-10	19.95	19.52	19.23	0.1088	0.1067	0.1055	45.109	45.107	45.106
	10-13	24.10	23.15	21.86	0.1125	0.1129	0.1135	45.221	45.220	45.219
	13-16	26.28	24.96	22.81	0.1114	0.112	0.113	45.111	45.112	45.113
	16-19	24.43	23.38	21.98	0.1123	0.1128	0.1135	45.224	45.225	45.227
	19-22	21.45	21.15	20.90	0.1138	0.1139	0.1135	45.114	45.114	45.114
	22-1	19.85	19.85	19.85	0.1086	0.1086	0.1086	45.222	45.223	45.222

ตาราง จ.3 น้ำหนักและราคาสุกรจากการใช้ระบบทำความเย็นแบบระเหยโดยตรงในเวลา 120 วัน

ฤดู	น.น. สุกร/ตัว (ก.ก.)			น้ำหนักสุกรที่เพิ่มขึ้น/ตัว (ก.ก.)	
	No evap.	14 m ²	21 m ²	14 m ² -No evap.	21 m ² - No evap.
ร้อน	130.3	135.7	142.3	5.4	12.0
ฝน	144.8	145.8	146.6	1.0	1.8
หนาว	151.3	153.2	156.0	1.9	4.6

ตาราง จ.4 รายได้จากการขายสุกรที่เพิ่มขึ้นเมื่อใช้ระบบทำความเย็นแบบระเหยโดยตรง

ฤดู	รายได้ที่เพิ่มขึ้น/ตัว (บาท)		รายได้ที่เพิ่มขึ้น/600ตัว (บาท)	
	14 m ² -No evap.	21 m ² - No evap.	14 m ² -No evap.	21 m ² - No evap.
ร้อน	378	840	226,800	504,000
ฝน	70	126	42,000	75,600
หนาว	133	322	79,800	193,200
รวม/ปี	581	1288	348,600	772,800

ประวัติผู้เขียน

ชื่อ	นายกลศ บุญชะววรรณะ
วัน เดือน ปี เกิด	8 พฤศจิกายน พ.ศ. 2519
สถานที่เกิด	จังหวัดนครสวรรค์
วุฒิการศึกษา	ปริญญาตรี วิศวกรรมศาสตรบัณฑิต (เครื่องกล) จากมหาวิทยาลัยเชียงใหม่ ปีการศึกษา 2541